GIAN CARLO PEROSINO * - MARCO ROSSO *

CLIMATOLOGIA DI ALESSANDRIA **

SUMMARY - The climate of Alessandria (Piedmont, NW Italy).

In this work we have analyzed tha data relative to the meteorological observations (air temperature and precipitations) made by the Alessandria station. It started its activity in 1857 and it is one of the oldest among those that are, at the moment, run by the Italian Hydrographic Service (Ministry of Works and Buildings) in Piedmontese area.

Some statistics have been recorded, other than those dealing with the climate. They have pointed out exceptional meteorological fenomena that should by regarded as important as those related to the surraunding environment, in general, and to the hydrogeological ruin and the hydrical resources management in particular.

RIASSUNTO - In questo lavoro si sono analizzati i dati relativi alle osservazioni meteorologiche (temperatura dell'aria e precipitazioni) compiute dalla stazione di Alessandria che iniziò la sua attività dal 1857 risultando, quindi, una delle più antiche fra quelle attualmente gestite dal Servizio Idrografico Italiano (Ministero LL. PP.) sul territorio piemontese.

Sono state compiute alcune elaborazioni statistiche che, oltre alla definizione del clima, hanno permesso di evidenziare i fenomeni meteorologici eccezionali che sono da considerare con molta attenzione quali fattori di notevole incidenza nei confronti dell'ambiente in generale, del dissesto idrogeologico e della gestione delle risorse idriche in particolare.

Il moderno calcolatore rappresenta oggi uno dei più potenti mezzi a disposizione della ricerca scientifica. Le possibilità di immagazzinare grandi quantità di dati e di compiere operazioni rapidissime, permettono di effettuare elaborazioni fino a poco tempo fa inattuabili o che richiedevano tempi molto lunghi. La climatologia è una di quelle discipline che hanno maggiormente usufruito delle possibilità offerte recentemente dai calcolatori a tutti i livelli. Più in generale quasi tutti i settori di ricerca naturalistica hanno trovato nuovi impulsi grazie agli sviluppi e alle applicazioni per mezzo dell'informatica e dell'elettronica. Il maggior vantaggio è dato, essenzialmente, dalla possibilità di immagazzinare, in pochissimo spazio, una grande mole di informazioni, siano esse di tipo ornitologico o teriologico, o di carattere botanico, meteorologico, ecc...; altro notevole vantaggio è dato dalla velocità con la quale si può accedere alla popolazione di dati per mezzo di criteri selettivi.

^{*} C.R.E.S.T., via Caprera 30, 10126 Torino.

^{**} Lavoro eseguito con il contributo del C.R.E.S.T., Centro Ricerche in Ecologia e Scienze del Territorio, Torino.

Molto spesso si sentono formulare ipotesi di ambiziosi programmi basati, essenzialmente, sull'uso di moderni e potenti calcolatori elettronici con i quali compiere rapidamente analisi territoriali finalizzate ad una ottimale gestione delle risorse naturali oppure in grado di effettuare ripetuti monitoraggi ambientali che servano da base per la redazione di futuribili valutazioni di impatto ambientale. È chiaro comunque che tali programmi sono realizzabili a condizione che « nella memoria dei calcolatori siano presenti dei dati » oppure che « vi siano degli operatori (o rilevatori) qualificati che raccolgano e introducano nella memoria dei dati ».

Nel campo della climatologia (importante capitolo delle analisi territoriali) i dati sono, nella maggior parte dei casi, quelli pubblicati sugli Annali Idrologici del Servizio Idrografico (Ministero dei Lavori Pubblici) e rilevati da una fitta rete di stazioni meteorologiche distribuite su tutto il territorio nazionale. Di questa rete fa parte anche Alessandria (Lat. N. 44°55'; Long. — Mer. Roma — 3°52' W; 95 m s.l.m.).

La scelta di studiare il clima di questa località si è basata sul fatto che essa ha in dotazione una stazione meteorologica in funzione fin dal 1857. Fra tutte quelle gestite dalla Sezione di Torino dell'Ufficio Idrografico del Po (che controlla tutta l'area piemontese) è una delle più antiche. In teoria dovrebbero essere disponibili osservazioni meteorologiche compiute in un intervallo di tempo di ben 129 anni (1857-1985), più lungo, quindi, di quello di 120 anni di Bra (nel bacino del Tanaro) preso in considerazione da Perosino e Rosso (1984) in un recente lavoro.

La stazione meteorologica di Alessandria funzionò sempre, praticamente senza interruzioni, per più di un secolo, anche in periodi storici assai difficili (come durante i conflitti mondali). Purtroppo dal 1973 compreso, proprio mentre si affermavano definitivamente l'elettronica e l'informatica, le pubblicazioni degli Annali Idrologici, almeno per quanto riguarda la Sezione di Torino, cessarono e non tanto perché il Servizio Idrografico fosse stato smobilitato, ma perché le strutture cominciarono ad essere carenti per mancanza di personale. In sostanza in un periodo storico in cui il problema della disoccupazione è fra i più drammatici, l'importante ed utilissimo Servizio Idrografico va in crisi per mancanza di personale senza il quale non possono essere effettuate, raccolte, organizzate e pubblicate le rilevazioni meteorologiche; queste ultime, inoltre fanno parte dell'insieme di dati che dovrebbero essere inseriti nelle memorie dei calcolatori elettronici per poter effettuare quelle complesse analisi territoriali alle quali si è prima accennato.

Per quanto riguarda la stazione di Alessandria, la raccolta dei dati è stata effettuata per mezzo degli Annali Idrologici del Servizio Idrografico (1913-1972) e, per quanto riguarda le osservazioni antecedenti il 1913, della pubblicazione di Filippo Eredia « Osservazioni pluviometriche raccolte a tutto l'anno 1915 » edita dal Ministero dei Lavori Pubblici (1920); si è fatto inoltre uso dei dati (AA.VV., 1980) pubblicati dalla Regione Piemonte per il « Progetto per la pianificazione delle risorse idriche del territorio piemontese », per il calcolo delle interpolazioni dei pochissimi dati mancanti.

Si tratta di osservazioni effettuate sui due parametri temperatura dell'aria e precipitazioni, gli unici per i quali sono a disposizione serie superori ai 25-30 anni normalmente raccomandati per ottenere risultati significativi dalle elaborazioni (Bruce, Clark, 1966; Sokolov, Chapman, 1974). In pratica sono stati elaborati, per mezzo di un calcolatore, oltre 11.000 dati, pur dovendo rinunciare a quelli posteriori al 1972 (13 anni fino al 1985 compreso) per i motivi di cui sopra. Quindi non sono compresi nelle rilevazioni alcuni eventi meteorologici eccezionali dell'ultimo decennio come le intense precipitazioni del maggio 1984 e la recente ondata di freddo intenso che, nel gennaio 1985, ha colpito tutta la penisola italiana.

TEMPERATURA DELL'ARIA

Gli Annali Idrologici riportano, per la stazione di Alessandria, le temperature mensili dal 1926 al 1972 (47 anni) e le sole temperature medie annue dal 1914. Sui valori medi annui (1914-1972: 59 anni; Fig. 1) è stata compiuta una prima serie di elaborazioni per verificare la normalità della loro distribuzione. A tale scopo sono stati calcolati la media aritmetica « T » e lo scarto quadratico medio « s ».¹ Per le distribuzioni normali è noto che:

- il 68,27% dei dati è compreso tra T s e T + s,
- il 95,45% dei dati è compreso tra T 2s e T + 2s,
- il 99,73% dei dati è compreso tra T 3s e T + 3s.

Successivamente sono stati valutati i valori in corrispondenza del primo (I), del secondo (II) e del terzo (III) quartile in corrispondenza rispettivamente del 25%, del 50% e del 75% della curva di frequenza cumulata delle temperature medie annue ordinate in senso decrescente; quindi si è proceduto al calcolo dell'indice di Bowley « A » ²; tale indice è tanto più vicino a 0 tanto più la distribuzione dei dati è normale.

Infine il coefficiente di correlazione « r » fra i singoli valori annui e la loro

$$\sqrt{\frac{\displaystyle\sum_{j=l}^{n}(X_{j}-X)^{2}}{n-l}}$$

e il coefficiente di variazione percentuale « C.V.% »:

$$\text{C.V.\%} = \frac{\text{s}}{\text{x}} \cdot 100$$

$$A = \frac{D_1 - D_2}{D_1 + D_2}$$

dove $D_1 = I - II e D_2 = II - III$.

 $^{^{\}text{I}}$ Data una serie di « n » valori « X_{j} » e la loro media « X », si definisce lo scarto quadratico medio « s » con la relazione:

² L'indice di Bowley « A » è definito dall'equazione:

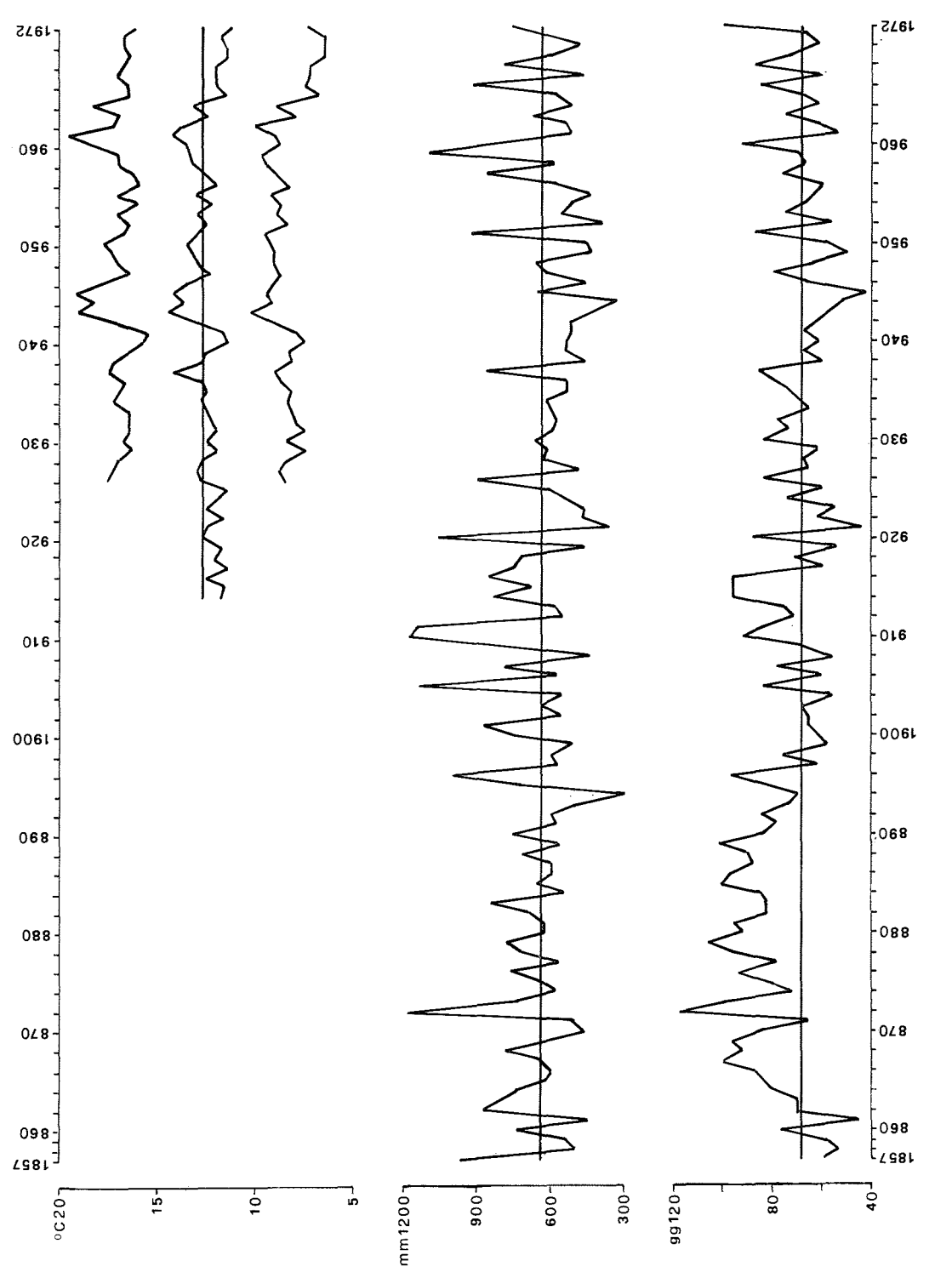


Fig. 1 - Successioni cronologiche di valori annui delle temperature (°C) dal 1914 e di quelli medi delle massime e delle minime diurne dal 1926, delle precipitazioni (mm) e del numero di giorni piovosi (gg) dal 1857.

frequenza « F » 3 può confermare, se prossimo a 1, la normalità della distribuzione tanto da legittimare il calcolo dei coefficienti della retta interpolante T=f(F) che permette, con molta cautela, di effettuare estrapolazioni di temperature con frequenze inferiori a quelle relative ai dati sperimentali.

I valori ottenuti da tali elaborazioni sono risultati:

```
Τ
        = 12.7
        = 0,77 \, ^{\circ}\text{C}
C.V.\% = 6,1
T \text{ max} = 14,5 \text{ °C } (1943)
                 °C
T
        = 13.1
        = 12,5
                °C
ΤI
                °C
III
        = 12,0
T \min = 11.3 \, ^{\circ}C \, (1917)
        = 0.91
T - s < 64,4\% < T +
T - 2s < 94,9\% < T + 2s
T - 3s < 100,0\% < T + 3s
T = 13.9 - 2.6 \cdot F (r = -0.98)
```

La media annua del periodo di osservazione (12,7 °C) può essere ritenuta significativa; essa è risultata inferiore a quella (13,9 °C) calcolata dal Mennella (1967) per la penisola italiana e compresa tra quelle (12-13 °C) indicate dallo stesso Autore per la Pianura Padana.

Un'analisi particolare meritano i valori termici annui estremi per l'importanza che essi assumono nel condizionare le biocenosi, l'agricoltura, i trasporti, ecc... In pratica si tratta di mettere in evidenza l'entità e il tempo di ritorno « Tr » ⁴ di certi eventi di freddo intenso o di notevole caldo. Si è proceduto, prima di tutto, a formare due serie ordinate dei valori massimi e minimi per ogni anno per il periodo di osservazione 1926-1972 (n = 47) per il quale gli Annali riportano anche i dati estremi. L'elaborazione statistica dei dati è consistita, sostanzialmente nell'individuare le leggi teoriche di distribuzione che possono adattarsi ai particolari tipi di dati stessi. Un modello matematico molto comune, da noi usato per la rappresentazione degli eventi eccezionali, è quello di Gumbel che è risultato alta-

$$F = \frac{m}{n+1}$$

dove « m » è il numero corrispondente alla posizione di ciascun dato nella serie di valori ordinati in senso decrescente ed « n » il numero dei dati della serie.

$$Tr = \frac{n+1}{m}$$

³ La frequenza «F», valutata con la formulazione di Weibull (in Chow, 1964) può essere così espressa:

⁴ Per tempo di ritorno « Tr » (in anni) si intende l'intervallo di tempo che, in media, intercorre tra due eventi che uguagliano o superano un determinato valore; esso può essere definito come l'inverso della frequnza « F » (in Chow, 1964):

mente soddisfacente dall'United States Weather Bureau (Hershfield e Kohler in Reich, 1963) e può essere espresso per mezzo della seguente formulazione (Chow, 1964: Mosetti, 1979):

$$K = -\frac{\sqrt{6}}{u} \cdot \left[\gamma + log_e log_e \cdot \left(\frac{Tr}{Tr - 1} \right) \right]$$

dove $\gamma=0,57721...$ è la costante di Eulero e il fattore di frequenza « K » assume valori in funzione della posizione « m » degli « n » dati ordinati in senso decrescente. Fra i diversi valori di « K » e i dati delle due serie sono stati calcolati i coefficienti di correlazione « r » e i parametri delle rette interpolanti che permettono di ricavare valori di temperature annue estreme per qualsiasi « Tr ». A titolo di esempio abbiamo calcolato i valori relativi ad alcuni tempi di ritorno sia per le temperature massime che per le minime:

massimi: $T = 34,68 + 2,14 \cdot K \text{ (r} = 0,99)$ minimi: $[T] = 10,40 + 3,88 \cdot K \text{ (r} = 0,96)$

| Tr (anni) | K | T max (°C) | T min (°C) |
|-----------|-------|------------|---------------|
| 10 | 1,305 | 37,5 | <i>—</i> 15,5 |
| 20 | 1,866 | 38,7 | — 17,6 |
| 30 | 2,189 | 39,4 | — 18,9 |
| 50 | 2,593 | 40,2 | — 20,5 |
| 80 | 2,962 | 41,0 | — 21,9 |

La sucessione cronologica dei valori medi annui (Fig. 1) non pone in evidenza tendenze alla diminuzione o all'aumento e il calcolo del coefficiente di correlazione tra i dati « T » e il tempo « t » non è risultato significativo. Si è provato allora ad evidenziare eventuali periodi più caldi rispetto alla media (12,7 °C) con il calcolo delle medie mobili per t=15, 20, 25 e 30 anni; i valori massimi ottenuti sono:

| t (anni) | periodo | valore (°C) |
|----------|-----------|-------------|
| 15 | 1942-1956 | 13,1 |
| 20 | 1943-1962 | 13,2 |
| 25 | 1942-1966 | 13,1 |
| 30 | 1935-1964 | 13,0 |

A titolo di confronto è stato effettuato lo stesso calcolo anche per i dati della stazione di Bra (Perosino e Rosso, 1984) limitatamente allo stesso periodo di osservazione di Alessandria:

| t (anni) | periodo | valore (°C) |
|----------|-----------|-------------|
| 15 | 1942-1956 | 12,8 |
| 20 | 1943-1962 | 12,9 |
| 25 | 1942-1966 | 12,7 |
| 30 | 1930-1959 | 12,6 |

nello stesso periodo di osservazione 1914-1972 la media generale di Bra è risultata pari a 12,4 °C. Confrontando i risultati ottenuti per le due stazioni si osserva

una buona corrispondenza e si evidenzia « ...l'ampia oscillazione verso il caldo che sembra abbia caratterizzato il trentennio 1930-1960 un po' su tutto il globo » (Schneider, 1976). Durio ed Altri (1982) hanno constatato che per Torino il periodo 1926-1970, sovrapposto quindi al trentennio 1930-1960, è risultato più caldo (T = 12,5 °C) rispetto alla fine del secolo precedente (1866-1905; T = 11,9 °C) subito dopo la « piccola era glaciale ». Recentemente sembra esservi una tendenza al raffreddamento del clima; Ianin (1970) nel suo studio sul clima del Colle del Gran San Bernardo, ha evidenziato un aumento delle temperature dalla fine del secolo scorso fino al 1964 con conseguente regresso dei ghiacciai valdostani di almeno del 20% fino al 1952 mentre nell'ultimo ventennio si registra una leggera avanzata. Comparando le medie del decennio 1953-1962 con quelle del trentennio 1931-1960, De Gemini (1962) conclude che l'isoterma media annua di 0 °C si è abbassata da 200 a 400 metri a seconda delle stagioni in Valtournanche (AO).

È certamente difficile avanzare oggi ipotesi sicure di modificazioni climatiche e sarebbero necessarie ulteriori ricerche anche più specifiche; concludiamo, intanto, con alcune interessanti osservazioni di Bernacca (in Serveda e San Gil, 1976): «...oggi ci troviamo ad una inversione dell'andamento climatico; forse potrebbe iniziare la quarta fase della "piccola glaciazione", cioè potremmo ritornare a quel clima più "tonico" che caratterizò il secolo scorso. E forse in questo nuovo assestamento climatico potrebbero inserirsi i capricci stagionali di questi ultimi tempi, compresi i più recenti episodi di siccità...».

REGIME TERMICO ED ESCURSIONI

L'analisi dei dati termici mensili (Tab. 1 e Fig. 2) è stata condotta, sulla base dello schema di Strahler (1968), con una elaborazione che ha fornito, come risultati, la seguente serie di valori:

- medie mensili (Tm),
- medie delle massime (Tmax g) e delle minime (Tmin g) giornaliere,
- medie dei massimi (Tmax) e dei minimi (Tmin) mensili,
- massimi (Tmax) e minimi (Tmin) assoluti;

nelle stesse Tab. 1 e Fig. 2 sono inoltre rappresentati:

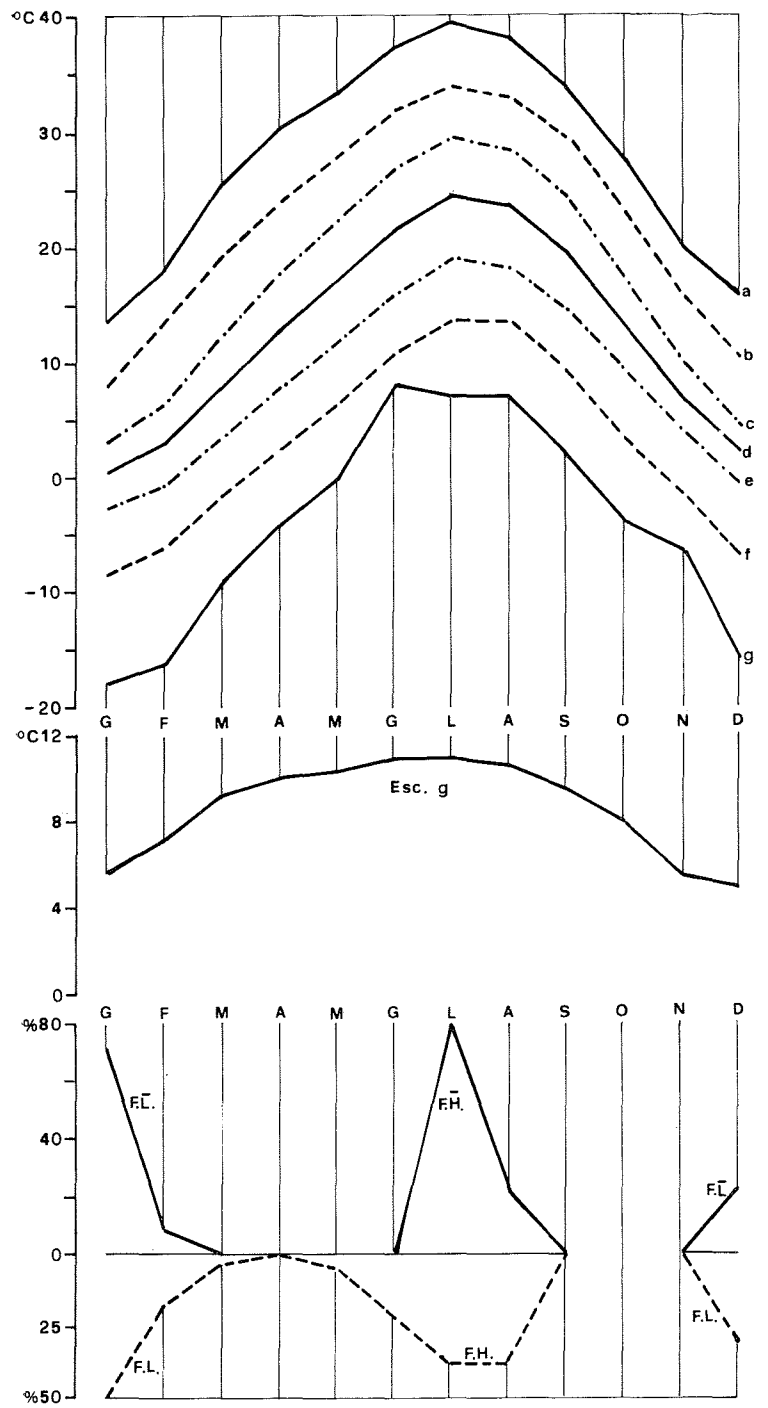
- escursioni medie giornaliere (Esc. g.),
- distribuzione % delle massime (F.H.) e delle minime (F.L.) medie mensili,
- distribuzione % dei massimi (F.H.) e dei minimi (F.L.) annuali.

Il massimo annuale dei valori medi mensili si verifica nel mese di luglio (24,3 °C) mentre il minimo in quello di gennaio (0,3 °C). Aprile (12,9 °C) e ottobre (13,1 °C) sono i mesi che più si avvicinano alla media annua (12,7 °C). Il collocamento di questi valori peculiari nell'anno è simile a quanto avviene per buona parte della penisola italiana con clima continentale (Mennella, 1967).

Le curve delle medie delle massime (c) e delle minime (e) giornaliere e delle medie dei massimi (c) e delle minime (e) mensili (Fig. 2) mantengono un certo parallelismo con la curva (d) delle medie mensili. Andamento più irregolare hanno le curve delle temperature estreme massime (a) e minime (g) assolute; in parti-

TAB. 1 - Temperatura dell'aria ad Alessandria. Massimi (T max) e minimi (T min) assoluti mensili; medie dei massimi (T max) e dei minimi (T min) mensili; medie mensili delle massime (T max g) e delle minime (T min g) giornaliere; medie mensili (T m); escursioni medie giornaliere (Esc. g); distribuzione delle massime (FH.) e delle minime (FL.) medie mensili; distribuzione dei massimi (F.H.) e dei minimi (F.L.) annuali. Periodo di osservazione 1926-1972 (47 anni).

| anno | 39,5 | (28-7- 1947) | 34,6 | 17,0 | 17,0 | 8,3 | -10,3 | -1,80 | (7-1- 1971) | 8,7 | | | | |
|------|--------|-----------------|------|------|------|------|-------|-------|----------------|--------|------|------|------|------|
| dic | 18,0 | (1967) | 10,5 | 4,4 | 4,4 | 7,0— | 6,9— | -15,8 | (1933) | 5,1 | 21 | | 32 | l |
| | 20,0 | | 15,8 | 8,6 | 7,0 | 4,1 | -1,7 | -6,5 | (1966) | | | | | |
| ott | 27,7 | (1948) | 23,1 | 17,1 | 13,1 | 0,6 | 2,4 | -4,0 | (1971) | | | | l | |
| sett | 33,9 | (1961) | 29,5 | 24,3 | 19,5 | 14,7 | 9,3 | 2,0 | (1972) | 9,6 | |] | l | l |
| ago | 38,1 | (1958) | 33,1 | 28,6 | 23,3 | 17,9 | 13,3 | 7,0 | (1966) | 10,7 | | 21 | 1 | 38 |
| lug | 39,5 | (1947) | 34,0 | 29,7 | 24,3 | 18,8 | 13,7 | 7,0 | (1969) | 10,9 | | 62 | 1 | 38 |
| | 37,6 | | 32,2 | 26,9 | 21,5 | 16,1 | 11,3 | 7,8 | (1962) | 10,8 | | ! | 1 | 21 |
| | 33,6 | | 28,2 | 22,4 | 17,3 | 12,1 | 6,7 | 0,0 | (1970) | 10,3 | | | ļ | 3 |
| | 30,5 | | 24,0 | 18,0 | 12,9 | 7,8 | 2,6 | -4,0 | (1970) | 10,2 | | 1 | | |
| mar | 26,2 | (1945) | 19,3 | 12,7 | 8,0 | 3,3 | -1,6 | 0,6— | (1971) | 9,4 | | - | 2 | |
| feb | 18,2 | (1928) | 13,3 | 9,9 | 3,0 | 9,0— | -5,8 | -16,7 | (1929) | 7,2 | 7 | 1 | 17 | 1 |
| gen | 13,6 | (1944) | 8,0 | 3,1 | 6,0 | -2,6 | 9,8— | -18,0 | (1971) | 5,7 | 72 | | 49 | 1 |
| | (°C) | | (°C) | (°C) | (°C | (°C) | (°C) | | | (°C) | (%) | (%) | (%) | (%) |
| | T' min | | | | T m | | min | | | Esc. g | F.L. | F.H. | F.L. | F.H. |



e dei minimi (f) mensili; medie mensili dei massimi (c) e dei minimi (e) giornalieri; medie mensili (d); escursioni medie giornaliere (Esc g); distribuzione delle massime (F.H.) e delle minime Fig. 2 - Regime termico ad Alessandria. Massimi (a) e minimi (g) assoluti; medie dei massimi (b) (F.L.) medie mensili a dei massimi (F.H.) e dei minimi (F.L.) annuali. Periodo di osservazione: 1926-1927 (47 anni).

colare sono da mettere in evidenza il massimo assoluto del periodo di osservazione (39,5 °C) rilevato nel 28 luglio 1947 e quello minimo (— 18,0 °C) nel 7 gennaio 1971. Dalla differenza tra questi ultimi due valori si ricava l'escursione assoluta (57,5 °C) inferiore al massimo assoluto italiano riscontrato dal Mennella (1967) di 60 °C nel periodo 1926-1955; recentemente è stato determinato un valore più elevato (65 °C) per la stazione piemontese di Nizza Monferrato (nel bacino del Belbo) nel periodo 1926-1963 (Perosino, 1983).

Lo studio della distribuzione di frequenza dei massimi (F.H. %) e dei minimi (F.L. %) annuali delle medie mensili (Tab. 1 e Fig. 2) conferma il mese di luglio come quello più caldo (79% dei casi) e il mese di gennaio come quello più freddo (72% dei casi). La distribuzione di frequenza dei massimi (F.H. %) e dei minimi (F.L. %) annuali dei valori estremi (Tab. 1 e Fig. 2) risulta più dispersa attorno ai mesi suddetti; in particolare si sono registrate le più rigide temperature invernali nel mese di marzo nel 2% dei casi e le più elevate estive nel mese di maggio nel 3% dei casi.

Nella Tab. 1 sono riportate le escursioni medie giornaliere ottenute come differenza tra le medie delle massime e delle minime giornaliere (T max g — T min g) di ogni mese. L'andamento di tali escursioni (Fig. 2) è simile al regime termico con un massimo di 10,9 °C nel mese di luglio e con un minimo di 5,1 °C nel mese di dicembre, risultando di 8,7 °C il valore medio annuale.

Dalla differenza tra le temperature medie mensili del mese più caldo (luglio con 24,3 °C) e del mese più freddo (gennaio con 0,3 °C) si è ottenuta l'escursione media annua del periodo di osservazione (24,0 °C) superiore al valore di 20 °C considerato dal Mori (1957) come limite al di sopra del quale il clima di una regione si può definire di tipo continentale. O. V. Johansson (in Pinna, 1977), al fine di fornire una più precisa classificazione della marittimità e della continentalità a base esclusivamente termica, ha proposto la seguente formulazione:

$$C (\%) = 16 \cdot \frac{A}{\text{sen } (\phi + 10^{\circ})} - 14$$

dove « A » rappresenta l'escursione media annua e « ϕ » la latitudine geografica. Il valore da noi ottenuto è risultato pari al 60% che assegna, secondo i limiti indicati dal suddetto Autore, alla stazione di Alessandria un clima continentale.

FENOMENI DI GELO E DISGELO

Sulla base della definizione adottata dal Péguy (1970) si definisce giorno di gelo quello in cui la temperatura minima è uguale o inferiore a 0 °C e giorno senza disgelo quello con temperatura massima che non supera lo 0 °C. La tabulazione giornaliera degli estremi diurni, presente negli Annali Idrologici dell'Ufficio Idrografico, permette di fornire un inquadramento generale dei suddetti fenomeni (1942-1972: 31 anni). I risultati sono sintetizzati nella Tab. 2 e nella Fig. 3 ove, per ogni mese, sono riportati il numero medio dei giorni con gelo e senza disgelo, nonché la frequenza degli anni in cui questi si sono verificati. Nelle stesse tabella e figura vengono anche riportate in quali date e decadi hanno avuto, sia eccezional-

mente che mediamente, inizio e fine tali manifestazioni. Si può osservare dalla figura come dicembre, gennaio e febbraio si confermino i mesi più freddi in quanto, in essi, i fenomeni di gelo si verificano più frequentemente; un certo numero di casi si sono manifestati anche nei mesi di ottobre e di maggio.

Tab. 2 - Fenomeni di gelo e disgelo ad Alessandria. Medie mensili (Ng) del numero di giorni in cui si sono verificati fenomeni di gelo (T min ≤ 0 °C) e senza disgelo (T max ≤ 0 °C), calcolate nel numero di anni (Na) in cui si sono manifestati tali fenomeni (espressi anche come frequenza %). Vengono anche riportate le decadi medie e le date estreme di inizio e di fine. Periodo di osservazione 1942-1972 (31 anni).

| | ott | nov | dic | gen | feb | mar | apr | mag |
|-------------------------|---------------|---------|----------|-------|------|-----|-----|-----|
| Na T min ≤ 0 °C | 5 | 23 | 31 | 31 | 31 | 24 | 4 | 1 |
| Na T min ≤ 0 °C (% |) 16 | 74 | 100 | 100 | 100 | 77 | 13 | 3 |
| Ng T min ≤ 0 °C | 1,6 | 6,2 | 17,2 | 22,0 | 15,5 | 5,0 | 2,5 | 1,0 |
| Na T max ≤ 0 °C | _ | 1 | 18 | 18 | 8 | 1 | _ | |
| Na T max ≤ 0 °C (% |) <u> </u> | 3 | 58 | 58 | 26 | 3 | _ | _ |
| Ng T max \leq 0 °C | _ | 1,0 | 4,3 | 7,2 | 5,1 | 2,0 | _ | _ |
| decade media inizio T | $\min \leq 0$ | °C: II | di nov | embre | | | | |
| decade media fine T | $\min \le 0$ | °C: II | di mar | zo | | | | |
| data estrema inizio T | $\min \le 0$ | °C: 18 | X-1971 | | | | | |
| data estrema fine T | $\min \le 0$ | °C: 1-V | 7-1970 | | | | | |
| decade media inizio T | $\max \le 0$ | °C: III | [di dio | embre | | | | |
| decade media fine T | $\max \le 0$ | °C: II | di geni | naio | | | | |
| data estrema inizio T | $\max \leq 0$ | °C: 25 | XI-1965 | 5 | | | | |
| data estrema fine T | $\max \le 0$ | °C: 5-I | II-1971 | | | | | |

PRECIPITAZIONI

Le rilevazioni delle precipitazioni furono compiute regolarmente dal 1857 e sono continuate, quasi senza interruzioni (meno dell'1% i dati interpolati), fino ad oggi. Si è potuto così disporre di un periodo di osservazione di 116 anni (fino a tutto il 1972) per quanto riguarda i totali mensili sia delle precipitazioni che del numero dei giorni piovosi.⁵ Per i valori annui di questi due parametri (rappresentati in successione cronologica in Fig. 1), analogamente a quanto fatto per quelli delle temperature, si sono valutati una serie di valori per verificare la normalità delle distribuzioni dei dati ottendo per le precipitazioni:

⁵ Viene considerato giorno piovoso quello con precipitazioni pari o superiori a 1 mm.

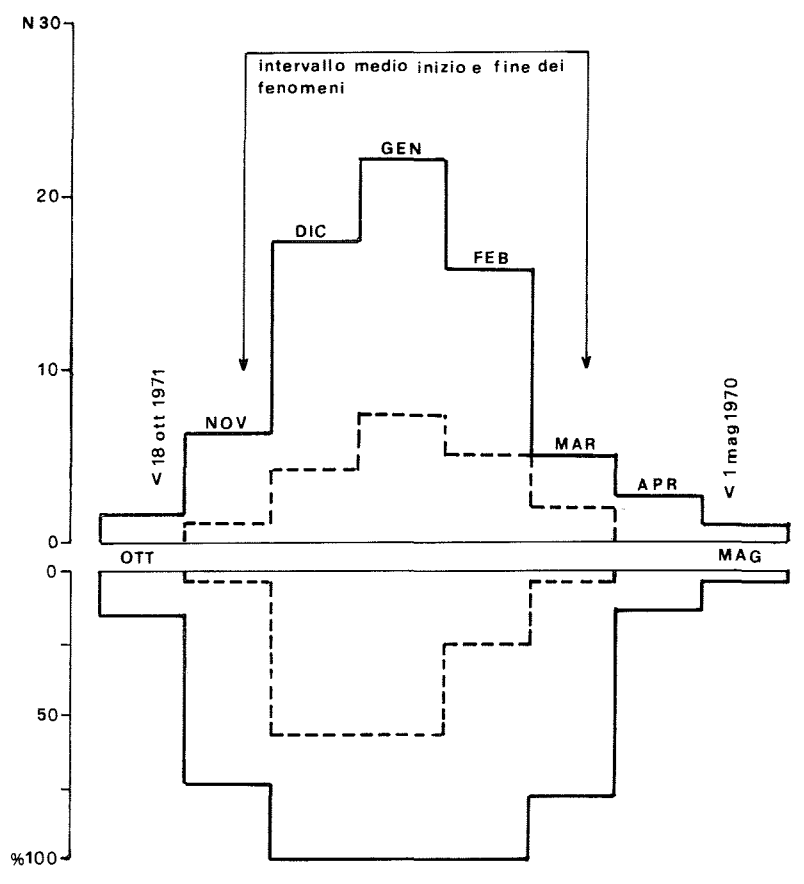


Fig. 3 - Fenomeni di gelo e disgelo ad Alessandria. Numero medio (N) di giorni con gelo (——) e senza disgelo (---) e frequenza % degli anni in cui si sono verificati i fenomeni. Vengono anche indicate le decadi medie e le date estreme di inizio e fine per T min ≤ 0 . Periodo di osservazione 1942-1972 (31 anni).

```
P max
          = 1.181
                     mm (1910)
Ι
              755
                      mm
II
              605
                      mm
III
          =
              536
                      mm
P min
             306
                      mm (1894)
                0,37
P - s < 71,6\% < P + s
P - 2s < 94,0\% < P + 2s
P - 3s < 99,1\% < P + 3s

P = 936,8 - 578,6 \cdot F (r = -0,94)
```

e per i giorni piovosi:

```
N
             68
                  gg
             14
S
                   gg
C.V. %
             21
                   %
N max
            118
                   gg (1872)
         =
I
             84
                   gg
II
             72
                  gg
III
         =
             62
                  gg (1945)
N min
             42
Α
              0,09
            67,2\% < N +
      s <
N - 2s <
            96,6\% < N + 2s
N - 3s < 100,0\% < N + 3s
N = 99.6 - 51.6 \cdot F (r = -0.96)
```

mentre il coefficiente di correlazione tra le due serie r (P, N) è risultato pari a 0,55 piuttosto modesto; il che significherebbe che negli anni piovosi non sempre vi sono stati più giorni piovosi.

La precipitazione media annua del periodo di osservazione (642 mm) è risultata inferiore sia alla media italiana di 970 mm (Contessini, 1956) che a quella della Pianura Padana di 760 mm stimata dal Mennella (1967). Il rapporto tra i due valori estremi annuali P max/P min è risultato prossimo a quattro il che, secondo Réméniéras (1972), si verificherebbe nei climi continentali o mediterranei.

Il valore medio annuo delle precipitazioni (P) è alla base del calcolo dell'indice di continentalità igrica di Gams (1931) che si ottiene con la relazione:

$$ctg x = \frac{m s.l.m.}{P}$$

dove « x » è un valore angolare compreso tra 0° e 90°; per Alessandria è x=8° 25', inferiore al valore di 20° al di sotto del quale sussistono condizioni favorevoli per l'insediamento di specie vegetali termofile (Fenaroli, 1935).

REGIME PLUVIOMETRICO

L'analisi della distribuzione delle precipitazioni nell'arco dell'anno è stata condotta mediante l'elaborazione dei totali pluviometrici (P) e del numero di giorni piovosi (N) mensili (Tab. 3 e Fig. 4):

— medie mensili (M),

3

- % delle medie mensili rispetto al mese medio (M%),6
- massimi (H) e minimi (L) assoluti del periodo di osservazione,
- coefficienti di variazione % dei valori mensili (C.V. %),
- frequenze % dei massimi (F.H. %) e dei minimi (F.L. %) annuali dei valori mensili.

⁶ II mese medio (54 mm) è il valore della precipitazione media annua del periodo di osservazione (642 mm) divisa per 12.

Tab. 3 - P: regime delle precipitazioni (mm). N: regime del numero dei giorni piovosi (gg). Totali mensili massimi assoluti del periodo di osservazione (H); medie dei totali mensili (M); percentuali delle medie mensili rispetto al mese medio (M%); minimi assoluti del periodo di osservazione (L); coefficienti di variazione percentuale (C.V.%); frequenze percentuali dei massimi (F.H.%) e dei minimi (F.L.%). Periodo di osservazione 1857-1972 (116 anni).

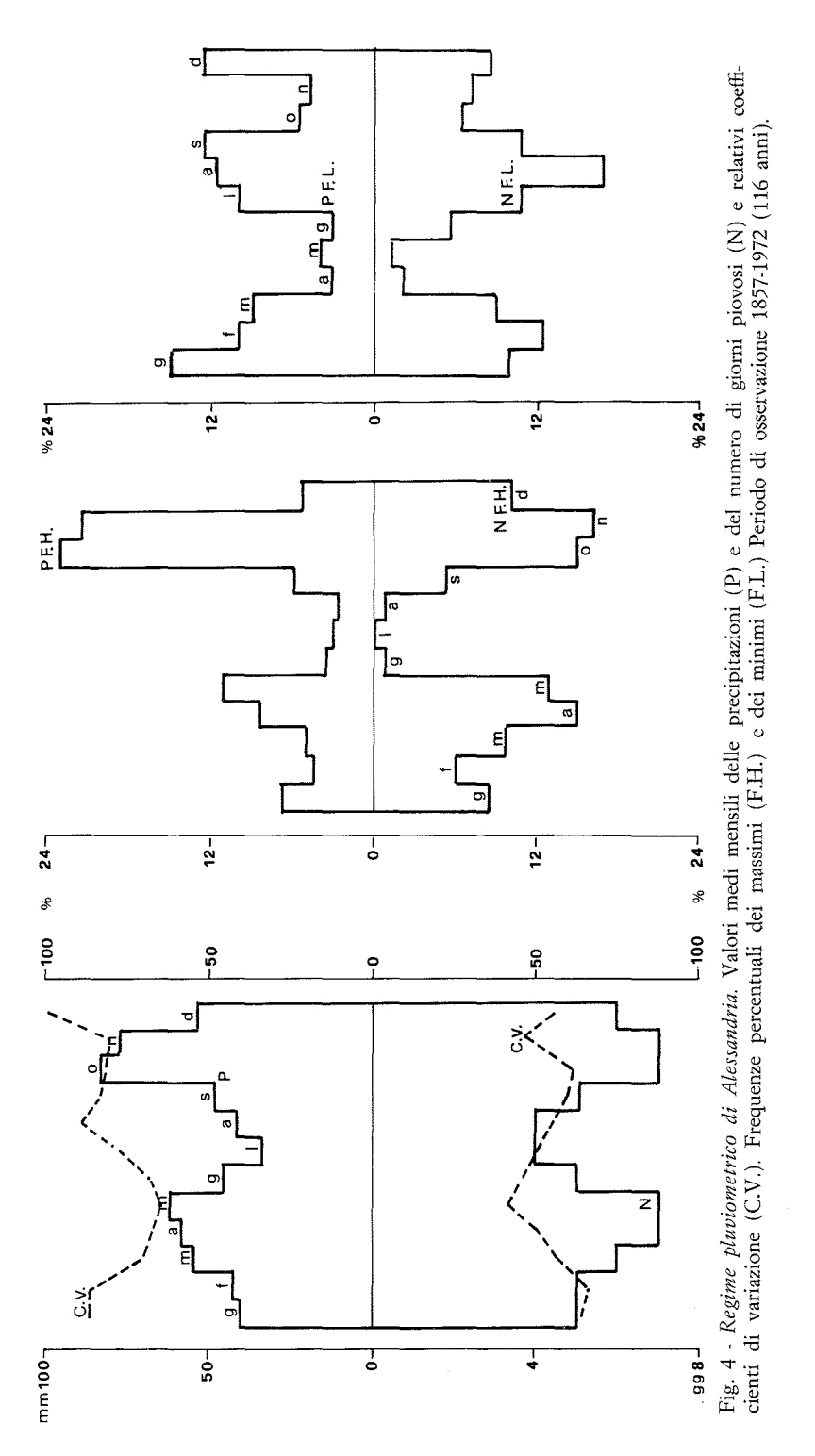
| РН | 144 | 169 | 184 | 196 | 232 | 148 | 189 | 177 | 151 | 380 | 345 | 407 |
|--------------------|-------------------------|-------------------------|--------------------------|--------------------------|--------------------------|-------------------------|-------------------------|-------------------------|-------------------------|--------------------------|--------------------------|--------------------------|
| | (1897) | (<i>1857</i>) | (1901) | (1918) | (1917) | (1903) | (1906) | (1905) | (1868) | (1872) | (1926) | (1910) |
| P M P M% P L | 40 75 0 (1896) | 42 78 0 (1945) | 55 103 0 (1953) | 59 111 0 (1955) | 62 116 3 (1870) | 46 85 0 (1897) | 34 64 0 (1862) | 42 78 0 (1927) | 49 91 0 (1865) | 83 154 0 (1934) | 76 141 0 (1919) | 54 100 0 (1961) |
| P C.V.% | 86 | 87 | 72 | 66 | 65 | 69 | 78 | 89 | 84 | 82 | 79 | 105 |
| P F.H.% | 6,8 | 4,3 | 5,1 | 8,5 | 11,1 | 3,4 | 2,6 | 2,6 | 6,0 | 23,1 | 21,4 | 5,1 |
| P F.L.% | 14,6 | 9,8 | 8,9 | 3,3 | 4,1 | 3,3 | 9,8 | 11,4 | 12,2 | 5,7 | 4,9 | 12,2 |
| NΗ | 17 | 18 | 16 | 19 | 18 | 13 | 11 | 11 | 16 | 22 | 17 | 18 |
| | (1867) | (1972) | (1916) | (1918) | (1879) | (1896) | (<i>1860</i>) | (1870) | (1882) | (1889) | (1926) | (1869) |
| N M N M% N L | 5 89 0 (1896) | 5 91 0 (1894) | 6 109 0 (1944) | 7 116 0 (1955) | 7 124 1 (1870) | 5 93 0 (1897) | 4 68 0 (1862) | 4 70 0 (1927) | 5 81 0 (1865) | 7 119 0 (1934) | 7 125 0 (1919] | 6 108 0 (1861) |
| N C.V.% | 65 | 67 | 56 | 52 | 42 | 46 | 51 | 57 | 59 | 61 | 49 | 57 |
| N F.H.% | 8,3 | 6,1 | 9,8 | 15,2 | 12,9 | 0,8 | 0,0 | 0,8 | 5,3 | 15,2 | 15,9 | 9,8 |
| N F.L.% | 10,1 | 12,5 | 8,9 | 1,8 | 1,2 | 5,4 | 10,7 | 16,7 | 10,7 | 6,5 | 7,1 | 8,3 |

La distribuzione dei valori medi mensili delle precipitazioni pone in evidenza due massimi (maggio e ottobre) e due minimi (gennaio e luglio) praticamente equivalenti. L'entità di detti massimi e minimi permette di classificare il regime pluviometrico di Alessandria come *sub-litoraneo padano* secondo la classificazione adottata dal Mennella (1967). Tale andamento è confermato sia dal regime dei giorni piovosi, sia da quello degli altri parametri statistici.

LINEE SEGNALATRICI DELLE POSSIBILITÀ PLUVIOMETRICHE

Un inquadramento più completo del fenomeno pluviometrico su scala di tempo mensile, con particolare riferimento alla gestione delle risorse idriche, soprattutto per quanto riguarda i valori estremi, è possibile attraverso il metodo Fantoli (1913). Per mezzo del calcolatore sono stati individuati i dieci casi estremi massimi e minimi di precipitazioni da 1 a 12 mesi consecutivi (Tabb. 4 e 5); la scelta di 10 casi è stata fatta per evidenziare di quanto si differenziano tra loro gli eventi eccezionali.

Dalla bibliografia (Tonini, 1966; Bertuletti e Carollo, 1973; Carollo, 1970-1978; Perosino e Scarpinato, 1982) si è osservato che ai casi estremi (Fig. 5) si possono adattare curve inviluppo (linee segnalatrici delle possibilità pluviometriche) definibili con espressioni del tipo:



TAB. 4 - Valori critici (mm) delle precipitazioni massime da 1 a 12 mesi consecutivi con relative date (anno e mese) di inizio dei fenomeni. Periodo di osservazione 1857-1972 (116 anni).

| 1 N | MESE | | 2 | MESI | | 3 | MESI | |
|--|--|---|--|--|--|--|--|---|
| Valore | Anno | Mese | Valore | Anno | Mese | Valore | Anno | Mese |
| 407 | 1910 | 12 | 497 | 1910 | 12 | 716 | 1872 | 10 |
| 380 | 1872 | 10 | 451 | 1926 | 10 | 575 | 1910 | 11 |
| 349 | 1907 | 10 | 433 | 1872 | 10 | 566 | 1959 | 10 |
| 345 | 1926 | 11 | 420 | 1907 | 10 | 524 | 1907 | 10 |
| 283 | 1872 | 12 | 369 | 1960 | 10 | 499 | 1896 | 10 |
| 250 | 1896 | 10 | 353 | 1959 | 10 | 493 | 1960 | 9 |
| 239 | 1960 | 10 | 352 | 1911 | 10 | 491 | 1911 | 9 |
| 232 | 1917 | 5 | 343 | 1896 | 10 | 486 | 1926 | 10 |
| 228 | 1905 | 11 | 342 | 1879 | 4 | 446 | 1945 | 10 |
| 227 | 1959 | 10 | 342 | 1882 | 9 | 422 | 1879 | 3 |
| | MESI | | | MESI | | | MESI | |
| Valore | Anno | Mese | Valore | Anno | Mese | Valore | Anno | Mese |
| 740 | 1872 | 10 | 817 | 1872 | 10 | 907 | 1872 | 10 |
| 659 | 1910 | 9 | 749 | 1910 | 9 | 817 | 1910 | 8 |
| 643 | 1896 | 10 | 692 | 1959 | 8 | 772 | 1959 | 7 |
| 586 | 1959 | 10 | 674 | 1896 | 9 | 765 | 1896 | 8 |
| 583 | 1907 | 9 | 655 | 1905 | 4 | 747 | 1911 | 6 |
| 579 | 1911 | 8 | 632 | 1911 | 9 | 728 | 1905 | 4 |
| 576 | 1960 | 9 | 610 | 1960 | 9 | 656 | 1882 | 9 |
| 548 | 1905 | 5 | 586 | 1907 | 8 | 626 | 1862 | 8 |
| 539 | 1926 | 10 | 583 | 1882 | 9 | 625 | 1960 | 8 |
| 532 | 1879 | 2 | 566 | 1879 | 1 | 621 | 1926 | 10 |
| | | | | | | | | |
| | MESI | | | MESI | | | MESI | 1.5 |
| 7 N Valore | MESI Anno | Mese | 8 . Valore | MESI Anno | Mese | Valore | Anno | Mese |
| Valore 1016 | Anno 1872 | 10 | Valore 1029 | Anno 1872 | 10 | Valore 1091 | <i>Anno</i> 1896 | 5 |
| <i>Valore</i> 1016 918 | Anno 1872 1910 | 10 12 | <i>Valore</i> 1029 1004 | Anno 1872 1905 | 10 4 | <i>Valore</i> 1091 1080 | Anno 1896 1872 | 5 8 |
| Valore 1016 918 897 | Anno 1872 1910 1905 | 10 12 5 | <i>Valore</i> 1029 1004 996 | Anno 1872 1905 1910 | 10 4 11 | Valore 1091 1080 1073 | Anno 1896 1872 1910 | 5 8 10 |
| Valore 1016 918 897 847 | Anno 1872 1910 1905 1896 | 10 12 5 7 | Valore 1029 1004 996 980 | Anno 1872 1905 1910 1896 | 10 4 11 6 | Valore 1091 1080 1073 1058 | Anno 1896 1872 1910 1905 | 5 8 10 3 |
| Valore 1016 918 897 847 825 | Anno 1872 1910 1905 1896 1959 | 10 12 5 7 6 | Valore 1029 1004 996 980 897 | Anno 1872 1905 1910 1896 1959 | 10 4 11 6 5 | Valore 1091 1080 1073 1058 979 | Anno 1896 1872 1910 1905 1959 | 5 8 10 3 4 |
| Valore 1016 918 897 847 825 770 | Anno 1872 1910 1905 1896 1959 1911 | 10 12 5 7 6 8 | Valore 1029 1004 996 980 897 854 | Anno 1872 1905 1910 1896 1959 1911 | 10 4 11 6 5 9 | Valore 1091 1080 1073 1058 979 942 | Anno 1896 1872 1910 1905 1959 1911 | 5 8 10 3 4 8 |
| Valore 1016 918 897 847 825 770 723 | Anno 1872 1910 1905 1896 1959 1911 1882 | 10 12 5 7 6 8 9 | Valore 1029 1004 996 980 897 854 804 | Anno 1872 1905 1910 1896 1959 1911 1882 | 10 4 11 6 5 9 | Valore 1091 1080 1073 1058 979 942 904 | Anno 1896 1872 1910 1905 1959 1911 1916 | 5 8 10 3 4 8 |
| Valore 1016 918 897 847 825 770 723 703 | Anno 1872 1910 1905 1896 1959 1911 1882 1916 | 10 12 5 7 6 8 9 | Valore 1029 1004 996 980 897 854 804 803 | Anno 1872 1905 1910 1896 1959 1911 1882 1878 | 10 4 11 6 5 9 9 | Valore 1091 1080 1073 1058 979 942 904 878 | Anno 1896 1872 1910 1905 1959 1911 1916 1878 | 5 8 10 3 4 8 9 |
| Valore 1016 918 897 847 825 770 723 703 678 | Anno 1872 1910 1905 1896 1959 1911 1882 1916 1878 | 10 12 5 7 6 8 9 11 | Valore 1029 1004 996 980 897 854 804 803 777 | Anno 1872 1905 1910 1896 1959 1911 1882 1878 1865 | 10 4 11 6 5 9 9 10 10 | Valore 1091 1080 1073 1058 979 942 904 878 860 | Anno 1896 1872 1910 1905 1959 1911 1916 1878 1882 | 5 8 10 3 4 8 9 9 |
| Valore 1016 918 897 847 825 770 723 703 | Anno 1872 1910 1905 1896 1959 1911 1882 1916 | 10 12 5 7 6 8 9 | Valore 1029 1004 996 980 897 854 804 803 | Anno 1872 1905 1910 1896 1959 1911 1882 1878 | 10 4 11 6 5 9 9 | Valore 1091 1080 1073 1058 979 942 904 878 860 844 | Anno 1896 1872 1910 1905 1959 1911 1916 1878 1882 1920 | 5 8 10 3 4 8 9 |
| Valore 1016 918 897 847 825 770 723 703 678 676 | Anno 1872 1910 1905 1896 1959 1911 1882 1916 1878 1862 MESI | 10 12 5 7 6 8 9 11 11 | Valore 1029 1004 996 980 897 854 804 803 777 774 | Anno 1872 1905 1910 1896 1959 1911 1882 1878 1865 1916 MESI | 10 4 11 6 5 9 9 10 10 | Valore 1091 1080 1073 1058 979 942 904 878 860 844 | Anno 1896 1872 1910 1905 1959 1911 1916 1878 1882 1920 MESI | 5 8 10 3 4 8 9 9 9 |
| Valore 1016 918 897 847 825 770 723 703 678 676 10 Valore | Anno 1872 1910 1905 1896 1959 1911 1882 1916 1878 1862 MESI Anno | 10 12 5 7 6 8 9 11 11 11 | Valore 1029 1004 996 980 897 854 804 803 777 774 11 Valore | Anno 1872 1905 1910 1896 1959 1911 1882 1878 1865 1916 MESI Anno | 10 4 11 6 5 9 9 10 10 10 | Valore 1091 1080 1073 1058 979 942 904 878 860 844 12 Valore | Anno 1896 1872 1910 1905 1959 1911 1916 1878 1882 1920 2 MESI Anno | 5 8 10 3 4 8 9 9 9 3 Mese |
| Valore 1016 918 897 847 825 770 723 703 678 676 10 Valore 1170 | Anno 1872 1910 1905 1896 1959 1911 1882 1916 1878 1862 MESI Anno 1910 | 10 12 5 7 6 8 9 11 11 11 11 | Valore 1029 1004 996 980 897 854 804 803 777 774 11 Valore 1308 | Anno 1872 1905 1910 1896 1959 1911 1882 1878 1865 1916 MESI Anno 1910 | 10 4 11 6 5 9 9 10 10 10 | Valore 1091 1080 1073 1058 979 942 904 878 860 844 12 Valore 1521 | Anno 1896 1872 1910 1905 1959 1911 1916 1878 1882 1920 2 MESI Anno 1910 | 5 8 10 3 4 8 9 9 9 3 Mese |
| Valore 1016 918 897 847 825 770 723 703 678 676 10 Valore 1170 1127 | Anno 1872 1910 1905 1896 1959 1911 1882 1916 1878 1862 MESI Anno 1910 1872 | 10 12 5 7 6 8 9 11 11 11 11 Mese 9 | Valore 1029 1004 996 980 897 854 804 803 777 774 11 Valore 1308 1167 | Anno 1872 1905 1910 1896 1959 1911 1882 1878 1865 1916 MESI Anno 1910 1872 | 10 4 11 6 5 9 9 10 10 10 | Valore 1091 1080 1073 1058 979 942 904 878 860 844 12 Valore 1521 1242 | Anno 1896 1872 1910 1905 1959 1911 1916 1878 1882 1920 2 MESI Anno 1910 1872 | 5 8 10 3 4 8 9 9 9 3 3 Mese |
| Valore 1016 918 897 847 825 770 723 703 678 676 10 Valore 1170 1127 1114 | Anno 1872 1910 1905 1896 1959 1911 1882 1916 1878 1862 MESI Anno 1910 1872 1896 | 10 12 5 7 6 8 9 11 11 11 11 Mese 9 | Valore 1029 1004 996 980 897 854 804 803 777 774 11 Valore 1308 1167 1135 | Anno 1872 1905 1910 1896 1959 1911 1882 1878 1865 1916 MESI Anno 1910 1872 1896 | 10 4 11 6 5 9 9 10 10 10 10 | Valore 1091 1080 1073 1058 979 942 904 878 860 844 12 Valore 1521 1242 1169 | Anno 1896 1872 1910 1905 1959 1911 1916 1878 1882 1920 2 MESI Anno 1910 1872 1959 | 5 8 10 3 4 8 9 9 9 3 3 Mese 12 5 3 |
| Valore 1016 918 897 847 825 770 723 703 678 676 10 Valore 1170 1127 1114 1091 | Anno 1872 1910 1905 1896 1959 1911 1882 1916 1878 1862 MESI Anno 1910 1872 1896 1959 | 10 12 5 7 6 8 9 11 11 11 11 11 Mese 9 7 4 | Valore 1029 1004 996 980 897 854 804 803 777 774 11 Valore 1308 1167 1135 1115 | Anno 1872 1905 1910 1896 1959 1911 1882 1878 1865 1916 MESI Anno 1910 1872 1896 1905 | 10 4 11 6 5 9 10 10 10 10 4 12 6 4 1 | Valore 1091 1080 1073 1058 979 942 904 878 860 844 12 Valore 1521 1242 1169 1165 | Anno 1896 1872 1910 1905 1959 1911 1916 1878 1882 1920 2 MESI Anno 1910 1872 1959 1896 | 5 8 10 3 4 8 9 9 9 3 3 Mese 12 5 3 5 |
| Valore 1016 918 897 847 825 770 723 703 678 676 10: Valore 1170 1127 1114 1091 1079 | Anno 1872 1910 1905 1896 1959 1911 1882 1916 1878 1862 MESI Anno 1910 1872 1896 1959 1905 | 10 12 5 7 6 8 9 11 11 11 11 11 Mese 9 7 4 3 3 | Valore 1029 1004 996 980 897 854 804 803 777 774 11 Valore 1308 1167 1135 1115 | Anno 1872 1905 1910 1896 1959 1911 1882 1878 1865 1916 MESI Anno 1910 1872 1896 1905 1959 | 10 4 11 6 5 9 9 10 10 10 10 4 1 1 6 5 9 9 10 10 10 10 10 | Valore 1091 1080 1073 1058 979 942 904 878 860 844 12 Valore 1521 1242 1169 1165 1158 | Anno 1896 1872 1910 1905 1959 1911 1916 1878 1882 1920 2 MESI Anno 1910 1872 1959 1896 1904 | 5 8 10 3 4 8 9 9 9 3 3 Mese 12 5 3 5 12 |
| Valore 1016 918 897 847 825 770 723 703 678 676 10 Valore 1170 1127 1114 1091 1079 1013 | Anno 1872 1910 1905 1896 1959 1911 1882 1916 1878 1862 MESI Anno 1910 1872 1896 1959 1905 1911 | 10 12 5 7 6 8 9 11 11 11 11 11 Mese 9 7 4 3 3 | Valore 1029 1004 996 980 897 854 804 803 777 774 11 Valore 1308 1167 1135 1115 1110 1017 | Anno 1872 1905 1910 1896 1959 1911 1882 1878 1865 1916 MESI Anno 1910 1872 1896 1905 1959 1920 | 10 4 11 6 5 9 9 10 10 10 10 4 1 1 3 1 | Valore 1091 1080 1073 1058 979 942 904 878 860 844 12 Valore 1521 1242 1169 1165 1158 1058 | Anno 1896 1872 1910 1905 1959 1911 1916 1878 1882 1920 2 MESI Anno 1910 1872 1959 1896 1904 1878 | 5 8 10 3 4 8 9 9 9 3 3 Mese 12 5 3 5 12 6 |
| Valore 1016 918 897 847 825 770 723 703 678 676 10 Valore 1170 1127 1114 1091 1079 1013 951 | Anno 1872 1910 1905 1896 1959 1911 1882 1916 1878 1862 MESI Anno 1910 1872 1896 1959 1905 1911 1862 | 10 12 5 7 6 8 9 11 11 11 11 11 Mese 9 7 4 3 3 9 8 | Valore 1029 1004 996 980 897 854 804 803 777 774 11 Valore 1308 1167 1135 1115 1110 1017 995 | Anno 1872 1905 1910 1896 1959 1911 1882 1878 1865 1916 MESI Anno 1910 1872 1896 1905 1959 1920 1878 | 10 4 11 6 5 9 9 10 10 10 10 10 4 1 1 3 1 7 | Valore 1091 1080 1073 1058 979 942 904 878 860 844 12 Valore 1521 1242 1169 1165 1158 1058 | Anno 1896 1872 1910 1905 1959 1911 1916 1878 1882 1920 2 MESI Anno 1910 1872 1959 1896 1904 1878 1920 | 5 8 10 3 4 8 9 9 9 3 3 Mese 12 5 3 5 12 6 1 |
| Valore 1016 918 897 847 825 770 723 703 678 676 10 Valore 1170 1127 1114 1091 1079 1013 951 933 | Anno 1872 1910 1905 1896 1959 1911 1882 1916 1878 1862 MESI Anno 1910 1872 1896 1959 1905 1911 1862 1878 | 10 12 5 7 6 8 9 11 11 11 11 11 Mese 9 7 4 3 3 9 8 8 | Valore 1029 1004 996 980 897 854 804 803 777 774 11 Valore 1308 1167 1135 1115 1110 1017 995 967 | Anno 1872 1905 1910 1896 1959 1911 1882 1878 1865 1916 MESI Anno 1910 1872 1896 1905 1959 1920 1878 1862 | 10 4 11 6 5 9 9 10 10 10 10 10 4 1 1 3 1 7 8 | Valore 1091 1080 1073 1058 979 942 904 878 860 844 12 Valore 1521 1242 1169 1165 1158 1058 1050 1041 | Anno 1896 1872 1910 1905 1959 1911 1916 1878 1882 1920 2 MESI Anno 1910 1872 1959 1896 1904 1878 1920 1916 | 5 8 10 3 4 8 9 9 9 3 3 Mese 12 5 3 5 12 6 1 |
| Valore 1016 918 897 847 825 770 723 703 678 676 10 Valore 1170 1127 1114 1091 1079 1013 951 | Anno 1872 1910 1905 1896 1959 1911 1882 1916 1878 1862 MESI Anno 1910 1872 1896 1959 1905 1911 1862 | 10 12 5 7 6 8 9 11 11 11 11 11 Mese 9 7 4 3 3 9 8 | Valore 1029 1004 996 980 897 854 804 803 777 774 11 Valore 1308 1167 1135 1115 1110 1017 995 | Anno 1872 1905 1910 1896 1959 1911 1882 1878 1865 1916 MESI Anno 1910 1872 1896 1905 1959 1920 1878 | 10 4 11 6 5 9 9 10 10 10 10 10 4 1 1 3 1 7 | Valore 1091 1080 1073 1058 979 942 904 878 860 844 12 Valore 1521 1242 1169 1165 1158 1058 | Anno 1896 1872 1910 1905 1959 1911 1916 1878 1882 1920 2 MESI Anno 1910 1872 1959 1896 1904 1878 1920 | 5 8 10 3 4 8 9 9 9 3 3 Mese 12 5 3 5 12 6 1 |

Tab. 5 - Valori critici (mm) delle precipitazioni minime da 1 a 12 mesi consecutivi con relative date (anno e mese) di inizio dei fenomeni. Periodo di osservazione 1857-1972 (116 anni).

| 1 N | MESE | | 2] | MESI | | 3 | MESI | |
|--|---|--|---|--|---|--|--|--|
| Valore | Anno | Mese | Valore | Anno | Mese | Valore | Anno | Mese |
| 0 | 1861 | 8 | 0 | 1908 | 1 | 0 | 1919 | 10 |
| 0 | 1861 | 12 | 0 | 1919 | 10 | 8 | 1928 | 6 |
| 0 | 1862 | 7 | 0 | 1921 | 9 | 11 | 1921 | 9 |
| 0 | 1863 | 2 | 1 | 1953 | 2 | 15 | 1953 | 1 |
| 0 | 1865 | 9 | 3 | 1913 | 12 | 23 | 1870 | 3 |
| 0 | 1875 | 9 | 3 | 1959 | 1 9 | 25 25 | 1894 | 6 2 |
| 0 | 1880 | 3 1 | 3 4 | 1971 1938 | 3 | 27 27 | 1938 1883 | 12 |
| 0 | 1884 1894 | 2 | 5 | 1928 | 7 | 28 | 1857 | 12 |
| 0 | 1896 | 1 | 7 | 1870 | 4 | 28 | 1944 | 3 |
| 4 N | MESI | | 5] | MESI | | 6 | MESI | |
| Valore | Anno | Mese | Valore | Anno | Mese | Valore | Anno | Mese |
| 33 | 1921 | 9 | 60 | 1944 | 1 | 89 | 1944 | 1 |
| 33 | 1938 | 1 | 62 | 1883 | 11 | 91 | 1883 | 10 |
| 34 | 1928 | 5 | 62 | 1937 | 12 | 100 | 1945 | 2 |
| 39 | 1894 | 6 | 72 | 1952 | 11 | 111 | 1923 | 5 |
| 42 | 1883 | 12 | 75 | 1921 | 8 6 | 119 124 | 1938 1921 | 1 9 |
| 45 46 | 1927 1871 | 7 7 | 78 81 | 1894 1950 | 5 | 124 | 1921 | 11 |
| 46 46 | 1944 | 1 | 89 | 1857 | 11 | 129 | 1894 | 2 |
| 46 | 1952 | 12 | 92 | 1919 | 8 | 130 | 1870 | 1 |
| 47 | 1950 | 6 | 94 | 1945 | 2 | 136 | 1950 | 5 |
| | | | | | | | | |
| 7 N | MESI | | 8 1 | MESI | | 9 | MESI | |
| 7 l Valore | | Mese | 8 I Valore | | Mese | 9 Valore | | Mese |
| | | Mese 1 | | | 1 | Valore 167 | Anno 1944 | 1 |
| <i>Valore</i> 111 135 | Anno 1944 1883 | 1 8 | <i>Valore</i> 139 150 | Anno 1944 1883 | 1 8 | V <i>alore</i> 167 179 | Anno 1944 1944 | 1 11 |
| Valore 111 135 138 | Anno 1944 1883 1894 | 1 8 2 | <i>Valore</i> 139 150 152 | Anno 1944 1883 1894 | 1 8 2 | <i>Valore</i> 167 179 183 | Anno 1944 1944 1883 | 1 11 7 |
| Valore 111 135 138 139 | Anno 1944 1883 1894 1938 | 1 8 2 1 | Valore 139 150 152 154 | Anno 1944 1883 1894 1944 | 1 8 2 12 | <i>Valore</i> 167 179 183 191 | Anno 1944 1944 1883 1894 | 1 11 7 2 |
| Valore 111 135 138 139 148 | Anno 1944 1883 1894 1938 1944 | 1 8 2 1 12 | Valore 139 150 152 154 168 | Anno 1944 1883 1894 1944 1937 | 1 8 2 12 12 | Valore 167 179 183 191 212 | Anno 1944 1944 1883 1894 1921 | 1 11 7 2 9 |
| Valore 111 135 138 139 148 152 | Anno 1944 1883 1894 1938 1944 1866 | 1 8 2 1 12 6 | Valore 139 150 152 154 168 185 | Anno 1944 1883 1894 1944 1937 1919 | 1 8 2 12 12 5 | Valore 167 179 183 191 212 216 | Anno 1944 1944 1883 1894 1921 1906 | 1 11 7 2 9 12 |
| Valore 111 135 138 139 148 152 160 | Anno 1944 1883 1894 1938 1944 1866 1921 | 1 8 2 1 12 6 9 | Valore 139 150 152 154 168 185 192 | Anno 1944 1883 1894 1944 1937 1919 | 1 8 2 12 12 | Valore 167 179 183 191 212 | Anno 1944 1944 1883 1894 1921 | 1 11 7 2 9 |
| Valore 111 135 138 139 148 152 160 162 | Anno 1944 1883 1894 1938 1944 1866 | 1 8 2 1 12 6 9 | Valore 139 150 152 154 168 185 | Anno 1944 1883 1894 1944 1937 1919 | 1 8 2 12 12 5 6 | Valore 167 179 183 191 212 216 231 | Anno 1944 1944 1883 1894 1921 1906 1871 | 1 11 7 2 9 12 2 |
| Valore 111 135 138 139 148 152 160 | Anno 1944 1883 1894 1938 1944 1866 1921 1927 | 1 8 2 1 12 6 9 | Valore 139 150 152 154 168 185 192 197 | Anno 1944 1883 1894 1944 1937 1919 1941 1921 | 1 8 2 12 12 5 6 9 | Valore 167 179 183 191 212 216 231 228 | Anno 1944 1944 1883 1894 1921 1906 1871 1861 | 1 11 7 2 9 12 2 4 |
| Valore 111 135 138 139 148 152 160 162 164 165 | Anno 1944 1883 1894 1938 1944 1866 1921 1927 1919 | 1 8 2 1 12 6 9 4 | Valore 139 150 152 154 168 185 192 197 198 200 | Anno 1944 1883 1894 1944 1937 1919 1941 1921 1870 | 1 8 2 12 12 5 6 9 | Valore 167 179 183 191 212 216 231 228 234 244 | Anno 1944 1944 1883 1894 1921 1906 1871 1861 1858 1927 2 MESI | 1 11 7 2 9 12 2 4 1 2 |
| Valore 111 135 138 139 148 152 160 162 164 165 | Anno 1944 1883 1894 1938 1944 1866 1921 1927 1919 | 1 8 2 1 12 6 9 4 | Valore 139 150 152 154 168 185 192 197 198 200 | Anno 1944 1883 1894 1944 1937 1919 1941 1921 1870 1886 | 1 8 2 12 12 5 6 9 | Valore 167 179 183 191 212 216 231 228 234 244 Valore | Anno 1944 1944 1883 1894 1921 1906 1871 1861 1858 1927 2 MESI Anno | 1 11 7 2 9 12 2 4 1 2 |
| Valore 111 135 138 139 148 152 160 162 164 165 10 Valore 225 | Anno 1944 1883 1894 1938 1944 1866 1921 1927 1919 1952 MESI Anno 1944 | 1 8 2 1 12 6 9 4 6 11 Mese | Valore 139 150 152 154 168 185 192 197 198 200 11 Valore 238 | Anno 1944 1883 1894 1944 1937 1919 1941 1921 1870 1886 MESI Anno 1921 | 1 8 2 12 12 5 6 9 3 2 | Valore 167 179 183 191 212 216 231 228 234 244 12 Valore 269 | Anno 1944 1944 1883 1894 1921 1906 1871 1861 1858 1927 2 MESI Anno 1921 | 1 11 7 2 9 12 2 4 1 2 Mesee |
| Valore 111 135 138 139 148 152 160 162 164 165 10 Valore 225 233 | Anno 1944 1883 1894 1938 1944 1866 1921 1927 1919 1952 MESI Anno 1944 1894 | 1 8 2 1 12 6 9 4 6 11 Mese 12 | Valore 139 150 152 154 168 185 192 197 198 200 11 Valore 238 250 | Anno 1944 1883 1894 1944 1937 1919 1941 1921 1870 1886 MESI Anno 1921 1944 | 1 8 2 12 12 5 6 9 3 2 Mese | Valore 167 179 183 191 212 216 231 228 234 244 12 Valore 269 297 | Anno 1944 1944 1883 1894 1921 1906 1871 1861 1858 1927 2 MESI Anno 1921 1943 | 1 11 7 2 9 12 2 4 1 2 Mesee |
| Valore 111 135 138 139 148 152 160 162 164 165 10 Valore 225 233 235 | Anno 1944 1883 1894 1938 1944 1866 1921 1927 1919 1952 MESI Anno 1944 1894 1921 | 1 8 2 1 12 6 9 4 6 11 Mese 12 1 9 | Valore 139 150 152 154 168 185 192 197 198 200 11 Valore 238 250 264 | Anno 1944 1883 1894 1944 1937 1919 1941 1921 1870 1886 MESI Anno 1921 1944 1894 | 1 8 2 12 12 5 6 9 3 2 Mesee 9 11 2 | Valore 167 179 183 191 212 216 231 228 234 244 12 Valore 269 297 306 | Anno 1944 1944 1883 1894 1921 1906 1871 1861 1858 1927 2 MESI Anno 1921 1943 1894 | 1 11 7 2 9 12 2 4 1 2 Mesee 9 6 |
| Valore 111 135 138 139 148 152 160 162 164 165 10 Valore 225 233 235 239 | Anno 1944 1883 1894 1938 1944 1866 1921 1927 1919 1952 MESI Anno 1944 1894 1921 1857 | 1 8 2 1 12 6 9 4 6 11 <i>Mese</i> 12 1 9 | Valore 139 150 152 154 168 185 192 197 198 200 11 Valore 238 250 264 267 | Anno 1944 1883 1894 1944 1937 1919 1941 1821 1870 1886 MESI Anno 1921 1944 1894 1857 | 1 8 2 12 12 5 6 9 3 2 Mese 9 11 2 11 | Valore 167 179 183 191 212 216 231 228 234 244 12 Valore 269 297 306 321 | Anno 1944 1944 1883 1894 1921 1906 1871 1861 1858 1927 2 MESI Anno 1921 1943 1894 1948 | 1 11 7 2 9 12 2 4 1 2 Mesee 9 6 1 |
| Valore 111 135 138 139 148 152 160 162 164 165 10 Valore 225 233 235 239 245 | Anno 1944 1883 1894 1938 1944 1866 1921 1927 1919 1952 MESI Anno 1944 1894 1921 1857 1943 | 1 8 2 1 12 6 9 4 6 11 Mese 12 1 9 12 | Valore 139 150 152 154 168 185 192 197 198 200 11 Valore 238 250 264 267 278 | Anno 1944 1883 1894 1944 1937 1919 1941 1921 1870 1886 MESI Anno 1921 1944 1894 1857 1943 | 1 8 2 12 12 5 6 9 3 2 Mese 9 11 2 11 7 | Valore 167 179 183 191 212 216 231 228 234 244 12 Valore 269 297 306 321 353 | Anno 1944 1944 1883 1894 1921 1906 1871 1861 1858 1927 2 MESI Anno 1921 1943 1894 1948 1955 | 1 11 7 2 9 12 2 4 1 2 Mesee 9 6 1 11 3 |
| Valore 111 135 138 139 148 152 160 162 164 165 10 Valore 225 233 235 239 245 252 | Anno 1944 1883 1894 1938 1944 1866 1921 1927 1919 1952 MESI Anno 1944 1894 1921 1857 1943 1883 | 1 8 2 1 12 6 9 4 6 11 Mese 12 1 9 12 12 6 | Valore 139 150 152 154 168 185 192 197 198 200 11 Valore 238 250 264 267 278 301 | Anno 1944 1883 1894 1944 1937 1919 1941 1921 1870 1886 MESI Anno 1921 1944 1894 1857 1943 1861 | 1 8 2 12 12 5 6 9 3 2 Mese 9 11 2 11 | Valore 167 179 183 191 212 216 231 228 234 244 12 Valore 269 297 306 321 | Anno 1944 1944 1883 1894 1921 1906 1871 1861 1858 1927 2 MESI Anno 1921 1943 1894 1948 | 1 11 7 2 9 12 2 4 1 2 Mesee 9 6 1 |
| Valore 111 135 138 139 148 152 160 162 164 165 10 Valore 225 233 235 239 245 | Anno 1944 1883 1894 1938 1944 1866 1921 1927 1919 1952 MESI Anno 1944 1894 1921 1857 1943 | 1 8 2 1 12 6 9 4 6 11 Mese 12 1 9 12 | Valore 139 150 152 154 168 185 192 197 198 200 11 Valore 238 250 264 267 278 | Anno 1944 1883 1894 1944 1937 1919 1941 1921 1870 1886 MESI Anno 1921 1944 1894 1857 1943 | 1 8 2 12 12 5 6 9 3 2 Mese 9 11 2 11 7 4 11 5 | Valore 167 179 183 191 212 216 231 228 234 244 12 Valore 269 297 306 321 353 355 | Anno 1944 1944 1883 1894 1921 1906 1871 1861 1858 1927 MESI Anno 1921 1943 1894 1948 1955 1861 | 1 11 7 2 9 12 2 4 1 2 Mesee 9 6 1 11 3 3 |
| Valore 111 135 138 139 148 152 160 162 164 165 10 Valore 225 233 235 239 245 252 260 | Anno 1944 1883 1894 1938 1944 1866 1921 1927 1919 1952 MESI Anno 1944 1894 1921 1857 1943 1883 1861 | 1 8 2 1 12 6 9 4 6 11 Mese 12 1 9 12 12 6 4 | Valore 139 150 152 154 168 185 192 197 198 200 11 Valore 238 250 264 267 278 301 307 | Anno 1944 1883 1894 1944 1937 1919 1941 1921 1870 1886 MESI Anno 1921 1944 1857 1943 1861 1948 | 1 8 2 12 12 5 6 9 3 2 Mese 9 11 2 11 7 4 11 | Valore 167 179 183 191 212 216 231 228 234 244 12 Valore 269 297 306 321 353 355 362 | Anno 1944 1944 1883 1894 1921 1906 1871 1861 1858 1927 MESI Anno 1921 1943 1894 1948 1955 1861 1857 | 1 11 7 2 9 12 2 4 1 2 Mesee 9 6 1 11 3 3 11 |

 $P = a \cdot T^b$ per i massimi $P = a \cdot (T - n)^b$ per i minimi

dove « P » sono le precipitazioni, « T » è il tempo (mesi) ed « n » è il numero massimo di mesi consecutivi con assenza di precipitazioni. Per la stazione di Alessandria sono risultate:

 $P = 407 \cdot T^{0.54}$ per i massimi $P = 15 \cdot (T - 3)^{1.3}$ per i minimi

Tali curve (Fig. 5) delimitano un'area, sul grafico, comprendente tutti i possibili casi da 1 a 12 mesi consecutivi verificatisi nell'arco dell'intero periodo di osservazione. Nei 116 anni considerati non vi è mai stata totale assenza di precipitazioni per più di tre mesi consecutivi; il valore minimo di 12 mesi (269 mm) è risultato inferiore all'anno civile più secco (306 mm nel 1894) e notevolmente inferiore alle precipitazioni del solo mese eccezionale (380 mm) dell'ottobre 1872. Il caso critico massimo di 12 mesi consecutivi (1521 mm) è risultato superiore all'anno civile più umido (il 1910 con 1181 mm) e più del doppio della media annua del periodo di osservazione (642 mm).

PRECIPITAZIONI GIORNALIERE

Sugli Annali Idrologici dal 1951 al 1972 (22 anni) sono riportati anche i valori giornalieri delle precipitazioni. Seguendo le indicazioni del Péguy (1970) questi dati sono stati raggruppati, mese per mese e per anno, in classi di frequenza (di ampiezza di 1 mm fino a 10 mm, di 2 mm da 10 a 20 mm, di 5 mm da 20 a 40 e di 10 mm per valori più elevati). Sono state quindi costruite le curve cumulate dei casi di precipitazioni giornaliere raggruppate in tali classi dalle più elevate (oltre 80 mm) a quelle minime (inferiori a 1 mm). In Fig. 6 è riportata la curva cumulata annuale; in corrispondenza di essa, e delle altre curve mensili (non riportate), sono stati individuati i valori in corrispondenza del I quartile (25%), del II quartile o della mediana (50%) e del III quartile (75%) e riportati in Tab. 6 e in Fig. 7, dove si osservano andamenti che rispecchiano sostanzialmente il regime pluviometrico precedentemente descritto. Le precipitazioni giornaliere inferiori a 1 mm rappresentano circa il 25% dei casi risultando le più frequenti; quelle elevate, viceversa, sono decisamente meno probabili risultando, per es., intorno al 7-8% la frequenza di quelle superiori a 20 mm.

PRECIPITAZIONI BREVI E INTENSE

Sugli Annali Idrologici sono riportati i valori massimi annuali per 1, 2, 3, 4 e 5 giorni consecutivi e per 1, 3, 6, 12 e 24 ore consecutive con relative date in cui tali manifestazioni si sono verificate. Per la stazione di Alessandria sono disponibili periodi di osservazione di 60 anni (1913-1973) per $T=1.5 \, \mathrm{gg}$ e di 30 anni

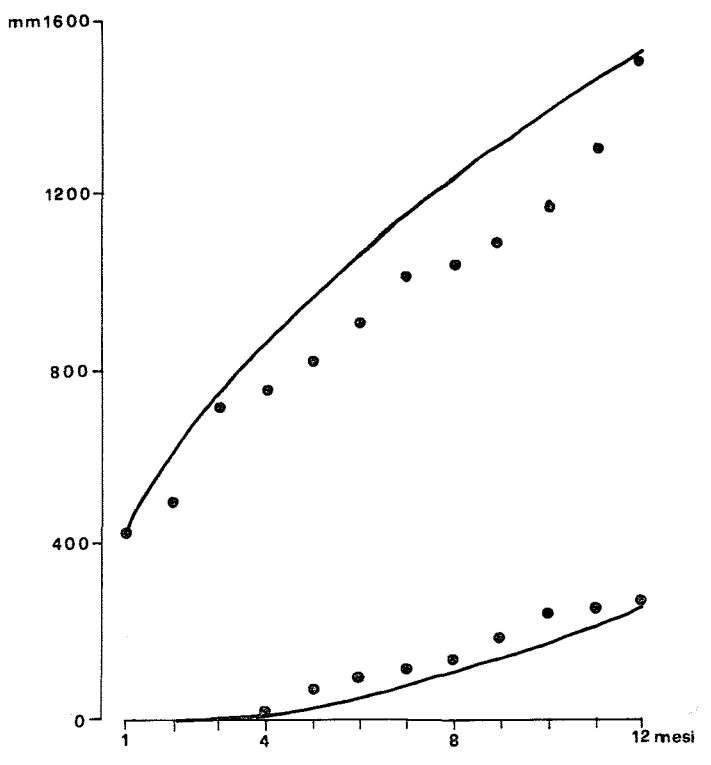


Fig. 5 - Linee segnalatrici delle possibilità pluviometriche e casi massimi e minimi di precipitazioni da 1 a 12 mesi consecutivi. $P=407\cdot T^{0,54}$ e $P=15\cdot (T-3)^{1,3}$ rispettivamente le equazioni delle curve inviluppo. Periodo di osservazione: 1857-1972 (116 anni).

(1935-1939, 1942, 1947-1970) per T=1-24 hh; i principali valori estremi (cinque e tre rispettivamente) sono riportati in Tab. 7.

Sulle serie di questi valori, ordinati in senso decrescente, analogamente a quanto fatto per i valori estremi delle temperature, è stato applicato il metodo Gumbel ottenendo una serie di equazioni riportate in Tab. 9; da queste ultime sono stati estrapolati valori per T=1-5 gg e per T=1-24 hh per diversi tempi di ritorno « Tr » anche superiori a quello dei dati sperimentali (Tab. 10). A questi ultimi dati si possono adattare curve inviluppo che, dalla letteratura idrologica, hanno una formulazione del tipo:

$$P = a \cdot T^b$$

dove « P » è il valore della precipitazione (mm) e « T » è il tempo espresso in giorni o in ore. Nella Fig. 8 sono rappresentati i casi critici stimati per Tr=10, 30 e 60 anni e le relative curve inviluppo che per T=1-5 gg sono risultate rispettivamente:

 $P = 65 \cdot T^{0,49}$ (Tr = 10 anni)

 $P 77 \cdot T^{0,49} (Tr = 30 anni)$

 $P 90 \cdot T^{0,49} (Tr = 60 anni)$

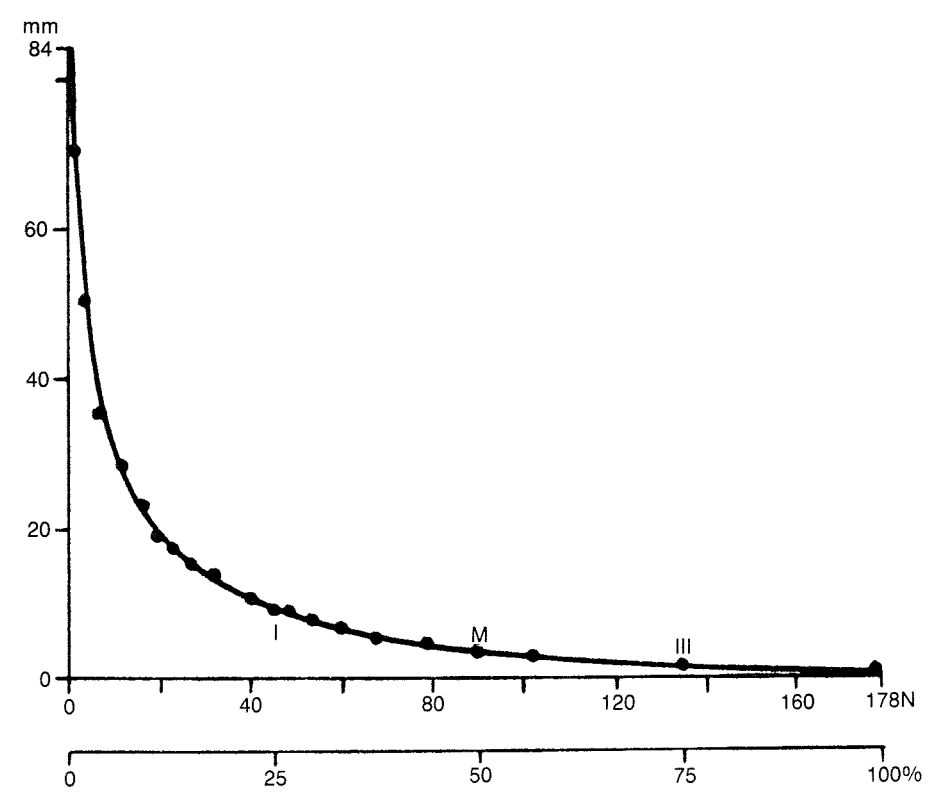


Fig. 6 - Curva cumulata del numero medio annuo (N) di casi di precipitazioni giornaliere (mm) raggruppate in classi di frequenza dalle più elevate (oltre 80 mm) a quelle minime (inferiori a 1 mm); primo quartile (I), mediana (M) e terzo quartile (III). Periodo di osservazione 1951-1972 (22 anni).

Tab. 6 - Valori (mm) valutati in corrispondenza del primo quartile (I), della mediana (M) e del terzo quartile (III) sulle curve cumulate mensili dei casi di precipitazioni giornaliere raggruppati in classi di frequenza dalle più elevate (oltre 80 mm) a quelle minime (inferiori a 1 mm) e valori massimi assoluti (P max) riscontrati nel periodo di osservazione 1951-1972 (22 anni).

| | gen | feb | mar | apr | mag | giu | lug | ago | set | ott | nov | dic |
|-------|--------|--------|--------|--------|--------|--------|--------|--------|--------|--------|--------|--------|
| I | 6,0 | 7,9 | 8,9 | 9,1 | 9,6 | 6,7 | 8,7 | 8,8 | 9,0 | 9,7 | 9,9 | 6,9 |
| M | 2,1 | 3,1 | 4,7 | 4,2 | 2,8 | 2,1 | 2,3 | 2,6 | 2,8 | 3,1 | 3,2 | 2,0 |
| III | 1,0 | 1,3 | 1,5 | 1,5 | 1,0 | 1,0 | 0,9 | 0,9 | 0,9 | 0,8 | 0,7 | 0,9 |
| P max | 28,8 | 32,4 | 47,0 | 62,8 | 38,2 | 46,6 | 48,6 | 84,2 | 46,4 | 66,4 | 50,6 | 60,0 |
| | (1971) | (1968) | (1957) | (1961) | (1969) | (1956) | (1959) | (1968) | (1962) | (1951) | (1957) | (1959) |
| | | | | | | | | | | | | |

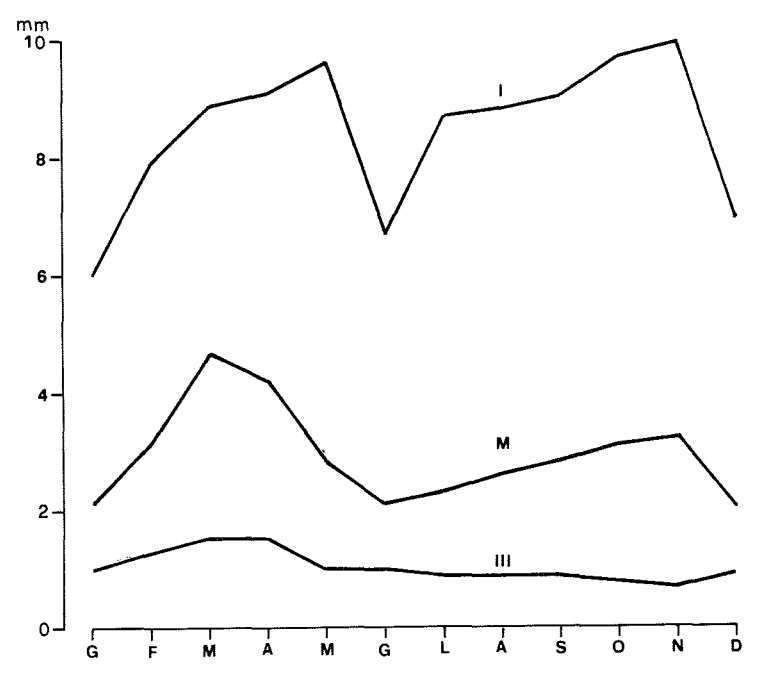


Fig. 7 - Regimi dei valori (mm) valutati in corrispondenza del primo quartile (I), della mediana (M) e del terzo quartile (III) sulle curve di frequenza cumulate mensili delle precipitazioni giornaliere. Periodo di osservazione 1951-1972 (22 anni).

mentre per T = 1-24 hh sono risultate le equazioni:

 $P = 35 \cdot T^{0,25}$ (Tr = 10 anni) $P = 41 \cdot T^{0,25}$ (Tr = 30 anni) $P = 45 \cdot T^{0,25}$ (Tr = 360 anni)

In pratica con questa metodologia è possibile « prevedere » l'entità e la frequenza degli eventi pluviometrici brevi ed intensi in funzione dei costi delle opere necessarie per la difesa dai fenomeni di dissesto idrogeologico.

La distribuzione frequenziale (%) dei massimi di precipitazioni annuali sia per $T=1.5\,$ gg, sia per $T=1.24\,$ hh, è riportata nella Tab. 8 e nella Fig. 9. Si osserva un andamento simile a quello del regime pluviometrico per intervalli superiori alle 12 ore. Per intervalli minori gli istogrammi tendono a concentrarsi diminuendo considerevolmente i casi invernali. Al limite, per $T=1\,$ h, si ha una notevole concentrazione estiva (con il massimo nel mese di luglio) in quanto tali manifestazioni sono legate, essenzialmente, a rovesci di carattere temporalesco.

Tab. 7 - Precipitazioni brevi ed intense ad Alessandria. Principali casi critici per le precipitazioni massime annuali da 1 a 5 giorni consecutivi (periodo di osservazione 1913-1972: 60 anni) e da 1 a 24 ore consecutive (periodo di osservazione 1935-1939, 1942, 1947-1970: 30 anni).

| 1 g | 2 gg | 3 gg | 4 gg | 5 gg |
|-------------|--------------|--------------|--------------|--------------|
| mm data | mm data | mm data | mm data | mm data |
| 84 30- 8-68 | 123 20-10-59 | 141 30-10-45 | 206 30-10-45 | 237 30-10-45 |
| 80 4-11-26 | 107 30-10-45 | 131 10-11-51 | 165 9-11-51 | 199 8-11-51 |
| 71 30-10-45 | 97 3-11-26 | 124 19-10-59 | 150 28- 5-17 | 150 28- 5-17 |
| 70 10- 8-29 | 92 30- 8-68 | 120 2-11-26 | 124 19-10-59 | 138 6-11-57 |
| 70 30- 9-51 | 91 28- 5-17 | 116 28- 5-17 | 122 2-11-26 | 123 2-11-26 |
| 1 h | 3 hh | 6 hh | 12 hh | 24 hh |
| mm data | mm data | mm data | mm data | mm data |
| 36 19- 8-39 | 49 30- 8-59 | 77 29- 8-68 | 84 29- 8-68 | 87 28- 8-68 |
| 34 30- 8-59 | 44 15-10-66 | 55 15-10-66 | 58 15-10-66 | 70 1-11-37 |
| 30 15- 7-57 | 43 18- 7-49 | 51 18- 7-49 | 55 23- 4-61 | 68 30- 9-65 |

Tab. 8 - Distribuzione delle frequenze delle precipitazioni massime annuali da 1 a 5 giorni consecutivi (periodo di osservazione 1913-1972: 60 anni) e da 1 a 24 ore consecutive (periodo di osservazione 1935-1939, 1942, 1947-1970: 30 anni).

| | gen | feb | mar | apr | mag | giu | lug | ago | set | ott | nov | dic |
|-------|-----|-----|-----|-----|-----|-----|-----|-----|-----|-----|-----|-----|
| 5 gg | 6 | 6 | 3 | 8 | 9 | 3 | 2 | 2 | 15 | 18 | 25 | 3 |
| 4 gg | 5 | 6 | 3 | 7 | 9 | 3 | 3 | 2 | 16 | 18 | 25 | 3 |
| 3 gg | 3 | 6 | 2 | 8 | 9 | 4 | 5 | 2 | 16 | 18 | 25 | 2 |
| 2 gg | 3 | 5 | 2 | 8 | 9 | 3 | 3 | 7 | 17 | 23 | 18 | 2 |
| 1 g | 3 | 5 | 2 | 6 | 8 | 5 | 3 | 8 | 18 | 20 | 20 | 2 |
| 24 hh | 2 | 5 | 3 | 7 | 8 | 3 | 8 | 9 | 17 | 20 | 18 | |
| 12 hh | | 4 | 1 | 7 | 8 | 4 | 12 | 15 | 12 | 17 | 17 | 3 |
| 6 hh | _ | — | | 5 | 15 | 10 | 14 | 18 | 13 | 10 | 9 | 6 |
| 3 hh | | _ | _ | 3 | 13 | 15 | 21 | 20 | 20 | 4 | — | 4 |
| 1 h | | 2 | _ | _ | 13 | 23 | 30 | 21 | 8 | 4 | | _ |

Tab. 9 - Rette interpolanti i dati delle serie di osservazione 1-5 gg e 1-24 hh (ordinati in senso decrescente) e i parametri « K » di Gumbel (con relativi coefficienti di correlazione).

| 3 6 1 6 1 12 1 | $\begin{array}{llllllllllllllllllllllllllllllllllll$ |
|----------------------|--|
| 2 g 3 g 4 g | $P = 46,3 + 14,4 \cdot K (0,995)$ $g P = 62,9 + 21,2 \cdot K (0,996)$ $g P = 72,4 + 24,6 \cdot K (0,993)$ $g P = 80,0 + 31,3 \cdot K (0,968)$ $g P = 85,4 + 36,0 \cdot K (0,957)$ |

Tab. 10 - Valori estrapolati (mm) con il metodo Gumbel per diversi tempi di ritorno (Tr) per le precipitazioni massime da 1 a 24 ore consecutive e da 1 a 5 giorni consecutivi.

| Tr | K | 1 h | 3 hh | 6 hh | 12 hh | 24 hh | 1 g | 2 gg | 3 gg | 4 gg | 5 gg |
|---------------------|------|-----|------|------|-------|-------|-----|------|------|------|------|
| 10 | 1,31 | 31 | 41 | 51 | 59 | 74 | 65 | 91 | 104 | 120 | 132 |
| 20 | 1,87 | 35 | 47 | 59 | 67 | 83 | 73 | 102 | 118 | 138 | 152 |
| 30 | 2,19 | 37 | 50 | 63 | 71 | 89 | 77 | 109 | 126 | 148 | 164 |
| 45 | 2,51 | 40 | 54 | 67 | 76 | 94 | 82 | 116 | 134 | 158 | 175 |
| 60 | 2,74 | 42 | 56 | 70 | 79 | 98 | 85 | 121 | 139 | 165 | 183 |
| 90 | 3,05 | 44 | 60 | 75 | 83 | 103 | 90 | 128 | 147 | 175 | 195 |

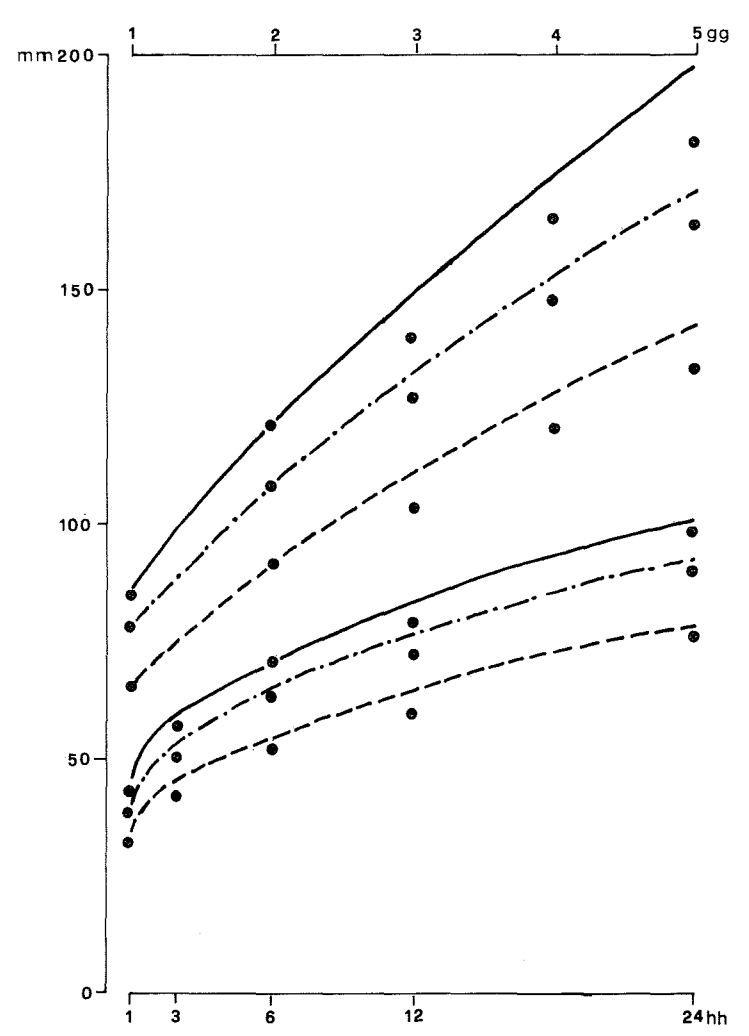
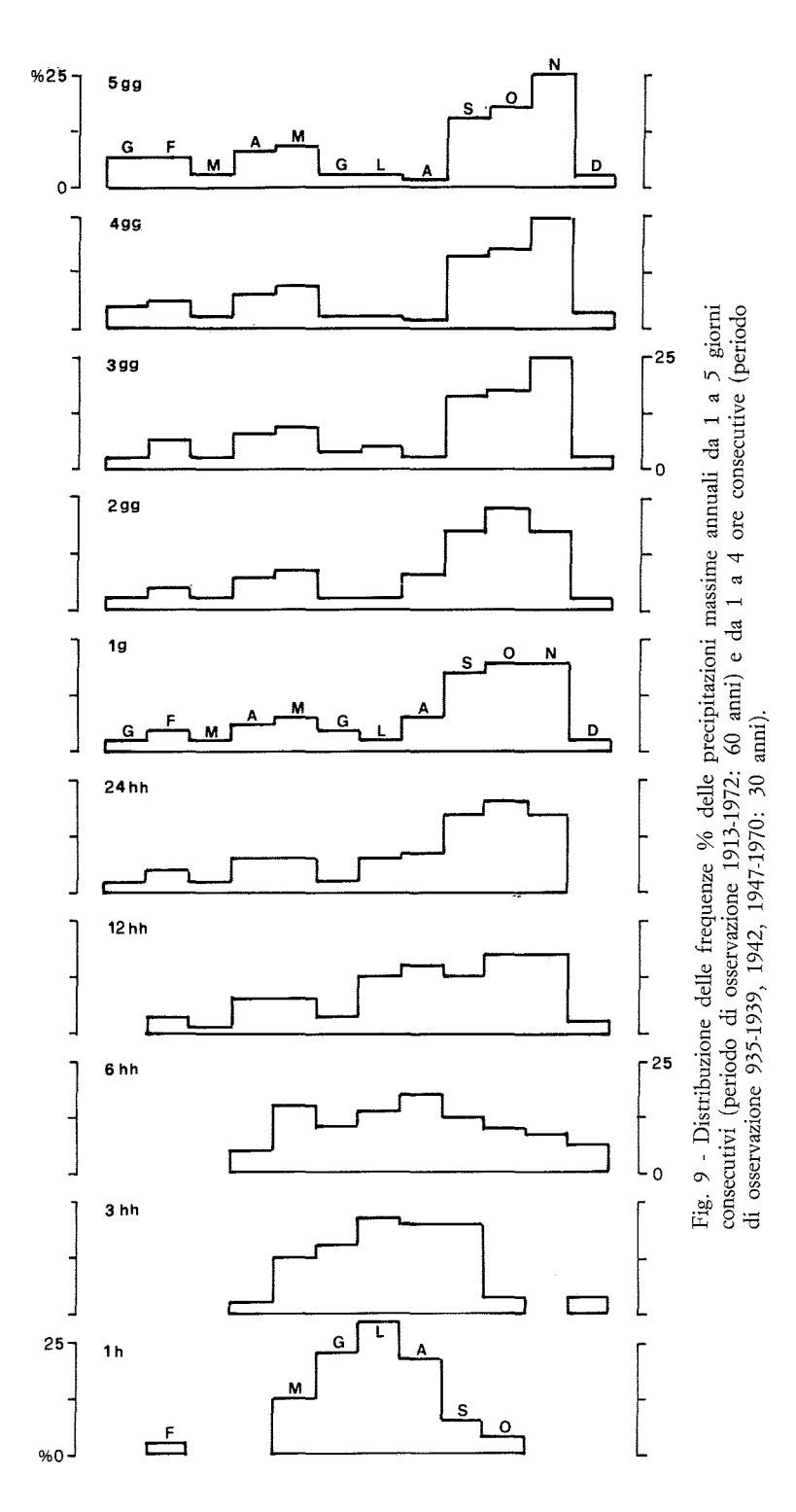


Fig. 8 - Precipitazioni intense e di breve durata e curve inviluppo di valori stimati per tempi di ritorno $Tr=10\ (----)$, $30\ (-----)$ e $60\ (----)$ anni per T=1.5 giorni (i punti in alto) e per T=1.24 ore (i punti in basso) e relative curve inviluppo.



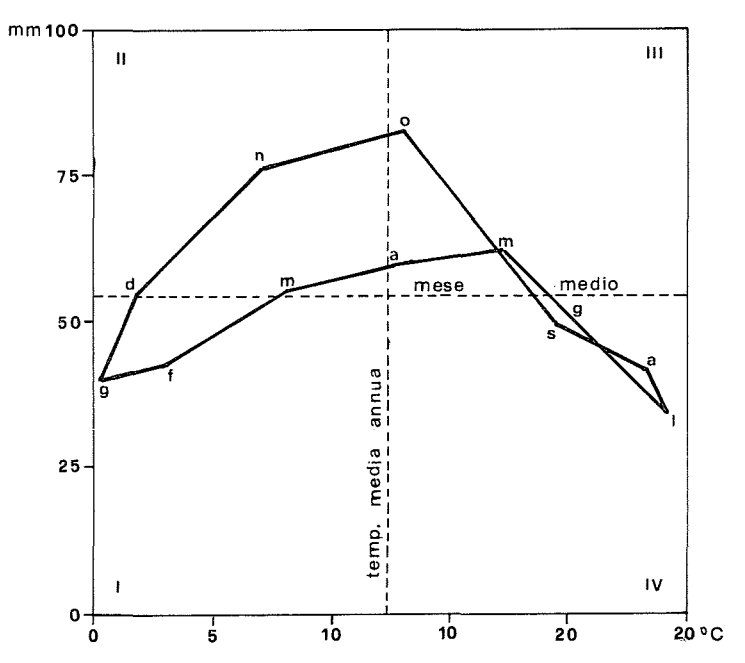


Fig. 10 - Climogramma termopluviometrico di Alessandria. Valori medi mensili delle precipitazioni (mm) e delle temperature (°C).

CONCLUSIONI

Una descrizione generale del clima di Alessandria può essere effettuata per mezzo del diagramma termopluviometrico (Fig. 10) nel quale, per ogni mese, i valori medi della temperatura e delle precipitazioni rappresentano le coordinate che individuano dei punti che si localizzano in quadranti ottenuti, questi ultimi, dalla intersezione di due rette rappresentanti una il valore di precipitazione pari al mese medio (54 mm) e l'altra la temperatura media annua (12,7 °C). Del primo quadrante fanno parte gennaio e febbraio (basse temperature e scarse precipitazioni). I mesi primaverili ed autunnali si localizzano nei quadranti II e III e costituiscono una transizione rispetto al IV caratterizzato da alte temperature e scarse precipitazioni (quadrimestre giugno-settembre); in modo particolare nel mese di luglio si possono determinare più frequentemente situazioni di deficit idrico.

Il calcolo degli indici di De Martonne (1926) conferma quanto appena affermato; esso può essere effettuato, per ciascun mese (Tab. 11), per mezzo della relazione:

$$De = \frac{12 \cdot PM}{Tm + 10}$$

dove « PM » e « Tm » sono rispettivamente le precipitazioni (mm) e le temperature (°C) medie mensili. I valori calcolati per luglio e agosto sono compresi fra

razione potenziale (EP), indici di aridità di De Martonne (De), indici di Gaussen (PM/Tm), perdita d'acqua cumulata TAB. 11 - Bilancio idrico ad Alessandria. Precipitazioni medie mensili (PM), temperature medie mensili (Tm), evapotrasp-(A.WL), riserva idrica del suolo (ST), variazioni della riserva (C.ST), evapotraspirazione reale (AE), deficit (D), eccedenza (S), scorrimento superficiale (RO), ritenzione totale di umidità (TMD).

Indice di aridità Ia = 100D/EP = 28; indice di umidità Ih = 100S/EP = 11; indice di umidità globale Im = Ih—Ia = -17; efficienza termica EP = 761; concentrazione estiva dell'efficienza termica EP(giu) + EP(lug) + EP (ago)/EP = 0.55. Classificazione secondo Thornthwaite: C₁B²s₂b³; (clima da subumido a subarido, secondo mesotermico, con eccedenza idrica invernale).

| | nəß | feb | mar | apr | mag | giu | lug | ogp | set | ott | пои | dic | anno |
|----------------------------|--------------------------------------|--------------------------------------|---|-------------------------------------|--------------------------------------|---|--------------------------------|---------------|--|------|--------------------------------|---|--|
| Me | 40 | 42 | 55 | 59 | 62 | 46 | 34 | 42 | 49 | 83 | 9/ | 54 | 642 |
| [m | 6,0 | 3,0 | 8,0 | 12,9 | 17,3 | 21,5 | 24,3 | 23,3 | 19,5 | 13,1 | 7,0 | 1,9 | 12,7 |
| EP | 1 | 5 | 26 | 26 | 94 | 130 | 156 | 136 | 92 | 47 | 16 | 2 | 761 |
|)e | 47 | 39 | 37 | 31 | 27 | 18 | 12 | 15 | 20 | 43 | 54 | 54 | 28 |
| $^{ m M}/{ m Tm}$ | 133,3 | 14,0 | 6,9 | 4,6 | 3,6 | 2,1 | 1,4 | 1,8 | 2,5 | 6,3 | 10,9 | 28,4 | İ |
| - EP | 39 | 37 | 29 | 3 | —32 | 84 | -122 | 94 | -43 | 36 | 09 | 52 | -119 |
| A.W.L | 0 | 0 | 0 | 0 | 32 | -116 | -238 | -332 | -375 | 0 | 0 | 0 | permente |
| T: | 200 | 200 | 200 | 200 | 169 | 115 | 56 | 38 | 30 | 99 | 126 | 178 | - |
| J.ST | 22 | 0 | 0 | 0 | —31 | 54 | 59 | -18 | 8 | 36 | 09 | 52 | - |
| 1E | П | ~ | 26 | 99 | 93 | 100 | 83 | 09 | 57 | 47 | 16 | 2 | 546 |
| ~ | 0 | 0 | 0 | 0 | _ | 30 | 73 | 9/ | 35 | 0 | 0 | 0 | 215 |
| | 17 | 37 | 59 | К | 0 | 0 | 0 | 0 | 0 | 0 | 0 | 0 | 98 |
| 02 | ∞ | 2 | 26 | 14 | 7 | 4 | 3 | — | \vdash | 0 | 0 | 0 | 98 |
| ľMD | 208 | 222 | 226 | 214 | 176 | 119 | 59 | 39 | 31 | 99 | 126 | 178 | 1664 |
| S.I. C.S.T AE D S S RO TMD | 22 22 1 0 17 8 208 | 200 0 5 0 37 2 222 | 200 0 0 0 29 29 26 226 | 200 0 56 0 3 3 14 | 169 —31 93 1 0 7 7 | 110 100 30 0 4 4 1119 | 25 83 73 0 0 59 | 5 & W W O ~ & | 66 38 99 —18 13 60 10 0 1 1 19 39 | | 28 18 60 76 0 1 | 28 30 30 -18 -8 60 57 76 35 0 0 1 1 1 39 31 | 38 30 66 -18 -8 36 60 57 47 76 35 0 0 0 0 1 1 0 39 31 66 |

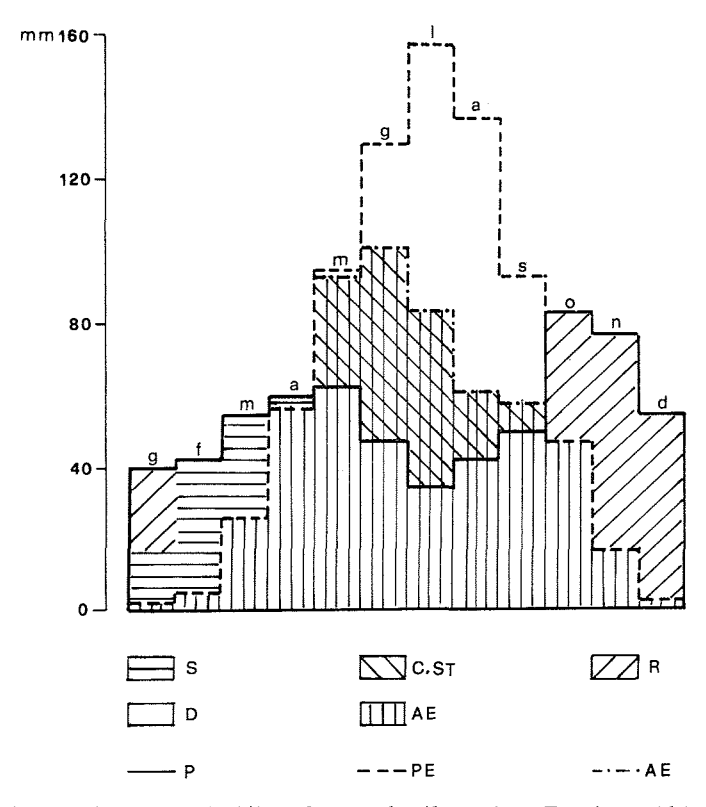


Fig. 11 - Bilancio idrico secondo Thornthwaite di Alessandria. Eccedenza idrica (S), deficit idrico (D), variazioni della riserva (C.ST), evapotraspirazione reale (AE), ricostituzione della riserva (R), precipitazioni medie mensili (P), evapotraspirazione potenziale (PE).

5 e 15 considerati dal suddetto Autore come limiti entro i quali si ha una situazione di aridità. Ciò è confermato dai rapporti PM/Tm (calcolato per tutti i mesi; Tab. 11) che, per luglio e agosto, sono risultati inferiori a 2 mm/°C limite, quest'ultimo, al di sotto del quale, secondo Gaussen (in Pinna, 1977), si verificano problemi di deficit idrico per la vegetazione.

Per avere un inquadramento generale più completo del bilancio idrico di Alessandria si è voluto applicare il metodo Thornthwaite (1946, 1954 e 1957). Nella Tab. 11 e nella Fig. 11 sono riportati i dati elaborati secondo il suddetto metodo; le modalità di calcolo e i significati dei simboli sono assai noti e divulgati da un'ampia letteratura (Franceschetti, 1977; Pinna, 1977;...).

Il deficit idrico è rilevante nei mesi di luglio e agosto ma già inizia da giugno e perdura ancora nel settembre. Da ottobre fino a gennaio, l'incremento delle precipitazioni e la diminuzione dell'evapotraspirazione (per il diminuire della temperatura) concorrono, essenzialmente, alla ricostituzione della riserva idrica per cui si hanno fenomeni di scorrimento superficiale principalmente in occasione di ro-

vesci con intensità superiore a quella della capacità di assorbimento del terreno. Vistosi fenomeni di ruscellamento si hanno invece nei mesi primaverili quando la riserva idrica è al colmo, l'evapotraspirazione ancora bassa e le piogge abbondanti.

BIBLIOGRAFIA

- Autori Vari, 1980 Progetto per la pianificazione delle risorse idriche del territorio piemontese. Reg. Piemonte Ass. Tutela Amb., Torino.
- Bertuletti C., Carollo A., 1973 Climatologia del bacino idrografico del Torrente Borlezza . Pubbl. Amm. Prov. Bergamo.
- BRUCE J. P., CLARK R. H., 1966 Introduction to hydrometeorology. Pérgamon Press, Toronto. Carollo A., 1970 Analisi delle precipitazioni rilevate alla stazione di Nepi. *Mem. Ist. Ital. Idrobiol.*, 26: 121-139, Pallanza.
- Carollo A., 1973 Lineamenti generali delle precipitazioni nel bacino del Tevere. Mem. Ist. Ital. Idrobiol., 30: 189-235, Pallanza.
- Carollo A., 1977 Cartografia pluviometrica applicata alle risorse idriche. Mem. Ist. Ital. Idrobiol., 34: 247-300, Pallanza.
- Carollo A., 1978a Precipitazioni brevi ed intense nella regione compresa tra i bacini idrografici del fiume Sesia e del Lago Maggiore. Mem. Ist. Ital. Idrobiol., 36: 121-138, Pallanza.
- CAROLLO A., 1978b Il clima e l'ambiente: esperimenti di cartografia pluviometrica applicata alle risorse idriche. Conv. « Metodi di cartografia geo-ambientale e di cartografia della vegetazione »; Bologna 29-30 marzo: 143-148.
- CHOW V. T., 1964 Handbook of applied hidrology. Mc Graw-Hill, New York.
- Contessini F., 1956 Impianti idroelettrici. Tamburini, Milano.
- DE GEMINI F., 1962 Il ghiacciaio grande di Verra e le sue variazioni negli ultimi decenni. Boll. Com. Geol. It., 12: 23-40, Torino.
- DE MARTONNE E., 1926 Une nouvelle fonction climatologique: l'indice d'ariditè. La Météorologie, 2, Paris.
- Durio P., Mori D., Perosino G. C., 1982 Le variazioni climatiche, le glaciazioni, la morfogenesi glaciale (particolari riferimenti al Piemonte e alla Valle d'Aosta). Lab. Riforma. Assessorato alla Cultura della Provincia di Torino.
- Eredia F., 1920 Osservazioni pluviometriche raccolte a tutto l'anno 1915. Ministero LL.PP., 2(I), Roma.
- Fantoli L., 1913 Linee segnalatrici delle possibilità pluviometriche e loro applicazione idraulica. Rend. Ist. Lomb. Sci. Lett., 46: 65-103, Milano.
- Fenaroli L., 1935 L'indice di continentalità igrica come mezzo di rappresentazione delle caratteristiche climatologiche di stazione e la carta esepirica della montagna lombarda. L'Universo, 16 (1975).
- Franceschetti B., 1977 Lezioni di geografia fisica. Parte II. Anno acc. 1975/76, Ms. Ist. Geol. Univ., Torino.
- GAMS H., 1931 Die Klimatische Begrenzunguon Pflanzenarealend und die verteilung der hygrischen kontinentalität in den Alpen. Z. Gesell. Erdkunde, 9, 321.
- JANIN B., 1970 Le Col du Grand-Saint-Bernard. Climat et Variations Climatiques. Mesumeci, Aosta.
- Mennella C., 1967 Il clima d'Italia nelle sue caratteristiche e varietà e quale fattore dinamico del paesaggio. EDART, Napoli.
- Mori A., 1957 Il clima. In: «L'Italia Fisica»: 21-63. T.C.I., Milano.
- Mosetti F., 1979 Fondamenti di oceanologia e idrologia. UTET, Torino.
- Péguy C. P., 1970 Precis de Climatologie. Masson, Paris.
- Perosino G. C., 1983 Climatologia di Nizza Monferrato. Riv. Piem. St. Nat., 4: 171-187. Carmagnola (To).
- Perosino G. C., Rosso M., 1984 Climatologia di Bra. Riv. Piem. St. Nat., 5: 177-204. Carmagnola (To).

- Perosino G. C., Scarpinato T., 1982 Elementi pluviometrici ed idrologici del bacino idrografico del torrente Cervo. Riv. Piem. St. Nat., 3: 77-96. Carmagnola (To).
- PINNA M., 1977 Climatologia. UTET, Torino.
- REICH B. M., 1963 Short-duration rainfall intensty estimates and other design aids regions of sparse data. Jour. Hidrol., 1: 3-28.
- Réméniéras G., 1972 L'hjdrologie de l'ingenieur. Eyrolles, Paris.
- Serveda V., San Gil J. A., 1976 L'atmosfera e le previsioni del tempo. Istituto Geografico De Agostini. Novara.
- Servizio Idrografico, 1913-1972 Annali Idrologici (Ufficio Idrografico del Po Parma). Ministero LL.PP., Ist. Polig. dello Stato, Roma.
- Schneider S. H., 1976 The Genesis Strategy, Climate and Global Survival (trad. ital.: 1976. «Strategia della genesi, Modificazioni climatiche e Sopravvivenza globale». Mondadori, Milano).
- Sokolov A. A., Chapman T. G., 1974 Methods for water balance computations. Unesco Press, Paris.
- STRAHLER A. N., 1968 Physical geography. J. Wiley & Sons Inc.
- THORNTHWAITE C. W., 1946 An approach toward a rational classification of climate. Trans. Amer. Geophys. Union, V. 271.
- THORNTHWAITE C. W., MATHER J. R., 1954 The measurement of potential evapotraspiration. Seabrook, New Jersey.
- THORNTHWAITE C. W., MATHER J. R., 1957 Introduction and tables for computing potential evapotraspiration and water balance. Concerton.
- TONINI D., 1966 Elementi di idrografia e di idrologia. Libr. Univ., Venezia.